

## บทที่ 4

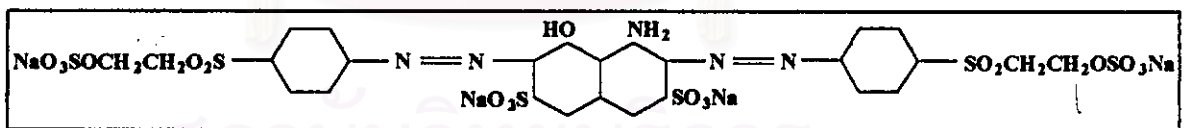
### ผลการทดลองและการวิจารณ์

ในการวิจัยนี้ใช้สีย้อมรีแอคทีฟในการศึกษาซึ่งประกอบไปด้วยการทดลอง 2 ขั้นตอน ขั้นตอนแรกเป็นการทดลองในระบบเอสบีอาร์ ส่วนขั้นตอนที่สองเป็นการทดลองแบบแบดซ์ ทั้งนี้การทดลองในระบบเอสบีอาร์ได้แบ่งย่อยออกเป็น 4 ชุดการทดลอง แต่ละชุดการทดลองมีความแตกต่างกันที่โครงสร้างทางเคมีของสีย้อมรีแอคทีฟที่ใช้ โดยหลักเกณฑ์ในการเลือกสีย้อมที่ใช้ในการวิจัยคือ

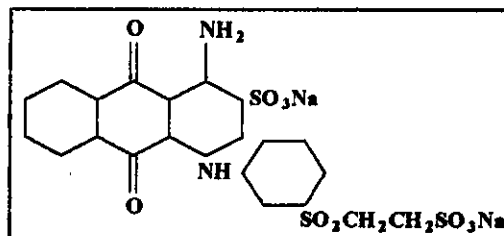
1. เป็นสีย้อมที่มีโทนเดียวกันคือสีฟ้าหรือสีน้ำเงิน
2. เป็นสีย้อมที่ใช้กันอยู่ในวงการอุตสาหกรรมย้อมผ้าในปัจจุบัน
3. มีโครงสร้างทางเคมีที่แตกต่างกัน

สีย้อมรีแอคทีฟที่เลือกใช้ในการวิจัยนี้ ได้แก่

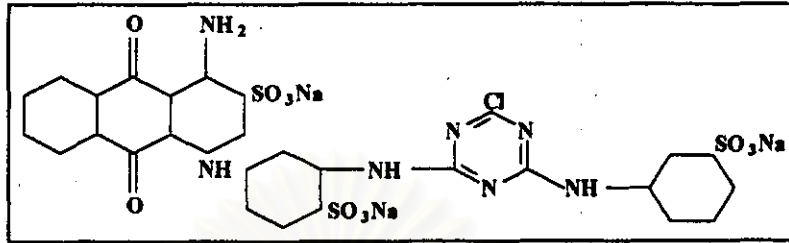
1. สี Remazol Black B (Cl. Reactive Black 5) โครงสร้าง Disazo vinylsulphonyl



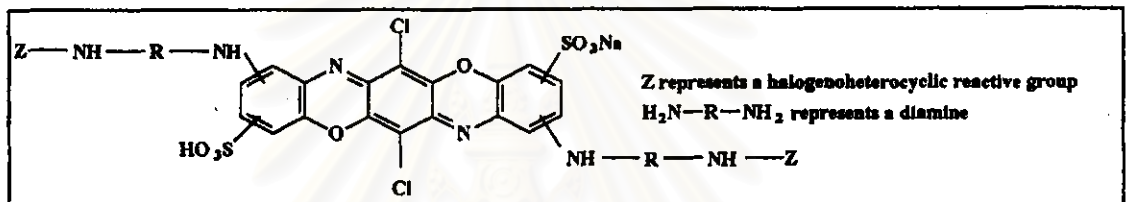
2. สี Remazol Blue R (Cl. Reactive Blue 19) โครงสร้าง Anthraquinone Vinylsulphonyl



3. สี Cibacron Blue CR (Cl. Reactive Blue 5) โครงสร้าง Anthraquinone Monochlorotriazinyl



4. สี Procion Blue H-EGN (Cl. Reactive Blue 198) โครงสร้าง Oxazine



สำหรับขั้นตอนที่สองเป็นการทดลองแบบแบดจ์ โดยได้นำน้ำเสียจากถังปฏิกิริยาทั้ง 4 ชนิดจากขั้นตอนแรกเป็นเวลา  $t=5$  นาที ซึ่งเป็นช่วงเริ่มต้นของระบบฯหลังจากที่ทำการเติมน้ำเสียเข้าถังปฏิกิริยาโดยตั้งสมมติฐานว่าน้ำเสียได้ถูกผสมจนมีลักษณะเข้าเป็นเนื้อเดียวกันแล้ว จากนั้นนำไปใส่ในหลอดแก้วมีฝาปิดขนาด 30 มล. โดยทำเป็น 3 ซ้ำหรือ 3 หลอดต่อตัวอย่าง แล้วปล่อยอิสระคือให้สลัดจ์จมตัวอยู่ที่ก้นหลอดโดยไม่มีการเขย่าหรือการกวน เมื่อเวลาผ่านไปตามที่กำหนด (ตั้งแต่เริ่มต้นถึง 3 วัน) ได้ทำการวัดค่าซีไอทีและค่าสีในหน่วยเอสยู (GF/C + 0.45  $\mu\text{m}$ . Filtering) โดยแต่ละค่าที่นำเสนอได้จากผลเฉลี่ยของตัวอย่างน้ำเสีย 3 หลอดที่สภาวะเดียวกันมาเปรียบเทียบที่เวลาต่าง ๆ กัน ทำการศึกษาผลของปริมาณไนเตรด, ปริมาณซัลเฟต, ผลของสภาวะแวดล้อมที่แตกต่างกัน, ผลของจุลชีพที่มีชีวิตกับไม่มีชีวิต และผลของอุณหภูมิ

#### 4.1 ผลการทดลองขั้นตอนแรกจากระบบเอสปีอาร์แบบแอนแอโรบิก-แอโรบิก

การทดลองโดยใช้ระบบเอสปีอาร์ในถังปฏิกิริยา 10 ลิตร มีอัตราส่วนน้ำเสียเข้าต่อน้ำเหลือค้างถึงเท่ากับ 1 : 1 หรือ 5 : 5 ลิตร เริ่มต้นด้วยกระบวนการแอนแอโรบิก 18 ชั่วโมง และต่อด้วยกระบวนการแอโรบิกอีก 5 ชั่วโมง ได้ผลการทดลองดังนี้

#### 4.1.1 พารามิเตอร์ทั่วไป

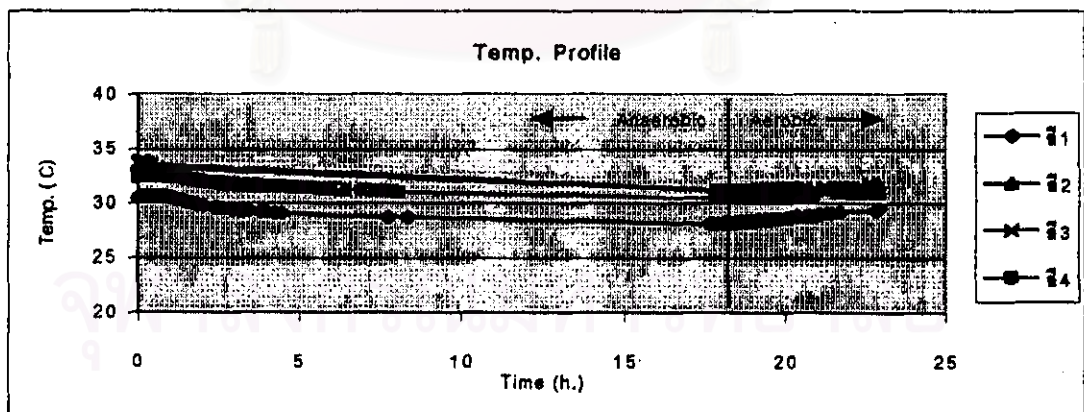
เป็นพารามิเตอร์ทั่วไปที่ใช้ในงานวิจัย เช่น อุณหภูมิ และดีไอ

##### 4.1.1.1 อุณหภูมิ

ตารางที่ 4.1 ค่าเฉลี่ยของอุณหภูมิ( $^{\circ}\text{C}$ )ในช่วงสถานะคงตัว ( $n=8$ )

	Ana.	Aer.
ส.1	29.9	30.4
ส.2	29.9	30.6
ส.3	29.9	30.5
ส.4	29.9	30.6

จากตารางที่ 4.1 เห็นได้ว่าอุณหภูมิเป็นพารามิเตอร์ที่เปลี่ยนแปลงไปตามอุณหภูมิห้อง ส่งผลให้โปรไฟล์ของอุณหภูมิ (รูปที่ 4.1) มีอุณหภูมิต่างกัน เพราะทำการวัดคนละวันกัน เนื่องจากมีเครื่องวัดอุณหภูมิอยู่เพียงชุดเดียว



รูปที่ 4.1 โปรไฟล์อุณหภูมิ

สำหรับสาเหตุที่อุณหภูมิในช่วงแอนแอโรบิกต่ำกว่าช่วงแอโรบิก ก็เนื่องมาจากช่วงท้ายแอนแอโรบิกตามที่กำหนดไว้เป็นช่วงเช้า และเมื่อเติมอากาศไป 5 ชั่วโมงแล้วก็จะเป็น

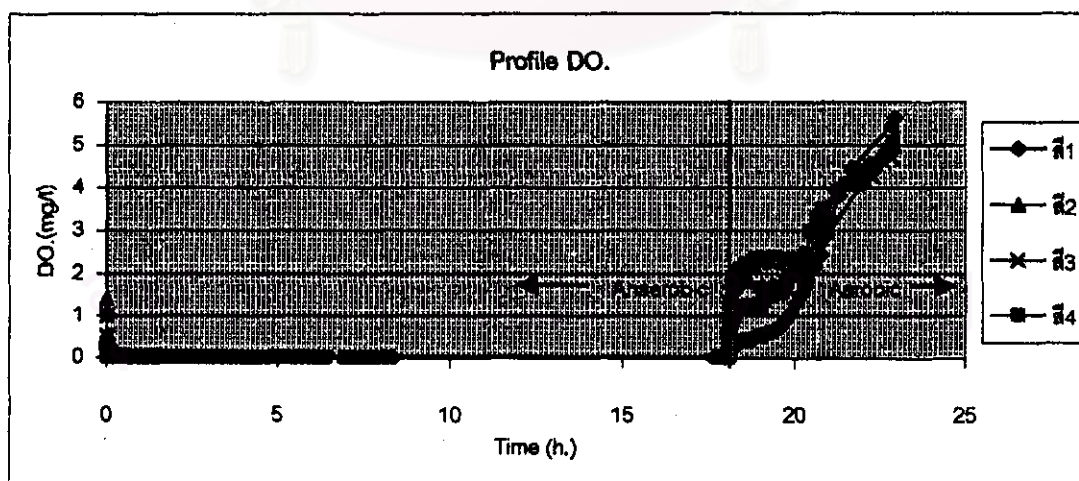
ช่วงบ่าย ทำให้อุณหภูมิที่วัดได้มีค่าสูงขึ้น นอกจากนี้อากาศที่เข้าถังปฏิกิริยาจะร้อนกว่าอุณหภูมิของอากาศในห้อง เนื่องจากต้องผ่านเครื่องบีบลม

#### 4.1.1.2 ค่าดีไอ

ตารางที่ 4.2 ค่าเฉลี่ยของดีไอ(มก./ล.)ในช่วงสถานะคงตัว (n=6)

	Ana.	Aer.
ส.1	0.09	4.85
ส.2	0.09	4.88
ส.3	0.09	4.86
ส.4	0.09	4.84

สาเหตุที่ค่าดีไอในช่วงแอนแอโรบิกไม่เป็นศูนย์ อาจเนื่องมาจากขีดความสามารถหรือความผิดพลาดของตัวเครื่องวัด ส่วนค่าดีไอในช่วงแอโรบิกจะอยู่ในช่วง 3-6 มก./ล. จากโปรไฟล์ของค่าดีไอ (รูปที่ 4.2) พบว่าค่าดีไอหลังจากป้อนน้ำเสียเข้าจนถึงจุดที่เรียกได้ว่าดีไอหมดใช้เวลาเพียง 10-15 นาทีเท่านั้น



รูปที่ 4.2 โปรไฟล์ดีไอ

(ข้อสังเกต - เครื่องมือที่ใช้วัดดีไอเป็นแบบใช้เมมเบรน จากการทดลองขณะที่ทำการวัดค่าดีไอเพื่อทำโพรไฟล์ซึ่งจะแช่โพรบไว้ตั้งแต่เริ่มป้อนน้ำเสียเข้า พออ่านค่าได้ค่าต่ำสุดแล้วประมาณ 0.02 มก./ล. เมื่อยกโพรบขึ้นเหนือน้ำแล้วลองจุ่มลงไปอีกครั้ง ต้องใช้เวลาประมาณ 10-15 นาทีกว่าค่าที่อ่านได้จะลดลงจนเท่าเดิม แต่ถ้าทำการล้างโพรบให้สะอาดแล้วจุ่มลงไปวัดใหม่ จะต้องใช้เวลานานกว่านี้มาก ถึงจะอ่านค่าได้เท่าเดิม

นอกจากนี้ในช่วงแอโรบิก ซึ่งในงานวิจัยนี้ใช้หัวฟูแบบที่ใช้ในตู้ปลาเป็นตัวกระจายฟองอากาศ จากการทดลองเมื่อแช่โพรบไว้อ่านค่าได้ 2.75 เมื่อทำการกวบโพรบไปรอบถึงอ่านค่าได้ 2.10 ทั้งนี้อาจเนื่องมาจากฟองอากาศไปค้างอยู่ที่หน้าสัมผัสของเมมเบรน สำหรับงานวิจัยนี้ในช่วงโพรไฟล์จะใช้วิธีจุ่มโพรบแช่ไว้ ส่วนการวัดช่วงท้ายแอโรบิกจะใช้การกวบโพรบไปรอบ ๆ ถึงแล้วค่อยอ่านค่า)

#### 4.1.2 พารามิเตอร์ที่ไม่มี ความแตกต่างกันจากผลของโครงสร้างสี

เป็นพารามิเตอร์ที่พบจากงานวิจัยว่าได้ผลที่แตกต่างกันอย่างไม่มีนัยสำคัญเมื่อโครงสร้างสีแตกต่างกัน

##### 4.1.2.1 พีเอชและสภาพต่าง

พบว่าพีเอชและสภาพต่างเปลี่ยนแปลงในทิศทางที่ตรงข้ามกัน (ตารางที่ 4.3 และ 4.4) กล่าวคือช่วงท้ายแอนแอโรบิก พีเอชมีค่าต่ำลง (7.76-7.82 → 7.20-7.47) ส่วนสภาพต่างมีค่าเพิ่มขึ้น (563-568 → 637-654) สำหรับช่วงท้ายแอโรบิก พีเอชมีค่าสูงขึ้น (7.20-7.47 → 8.34-8.46) ส่วนสภาพต่างมีค่าลดลง (637-654 → 588-598) ซึ่งจากการทดลองของผู้วิจัยเมื่อนำตัวอย่างน้ำเสียปนเซลล์จุลชีพมาจากถังปฏิบัติการในช่วงท้ายแอนแอโรบิกแล้วทำการวัดค่าพีเอชทันทีโดยทำการกวบโพรบวัดพีเอชไปรอบ ๆ ภาชนะบรรจุตัวอย่างน้ำ จะได้ค่าพีเอชประมาณ 7.2-7.4 (ผลที่อ่านได้ข้างต้นนั้นเป็นค่าที่อ่านในช่วงต้น ๆ ของการวัด ซึ่งเมื่อทำการกวบโพรบต่อไป ค่าพีเอชที่อ่านได้จะค่อย ๆ เพิ่มขึ้นเรื่อย ๆ) เมื่อตั้งตัวอย่างน้ำทิ้งไว้ 1 ชั่วโมง แล้วทำการวัดพีเอชอีกครั้งจะได้ค่าถึง 7.8-8.0 หรือแม้แต่การนำตัวอย่างน้ำเสียไปกรองเอาเซลล์ออกก็จะได้ค่าพีเอชสูงขึ้นในระดับนี้เช่นเดียวกัน จากผลที่ได้ดังกล่าวในความเห็นของผู้วิจัยคิดว่าน่าจะมาจากปริมาณ  $\text{CO}_2$  ที่ละลายในน้ำในช่วงแอนแอโรบิกมีค่าอยู่ในปริมาณที่สูง ซึ่งเมื่อทำการกวบน้ำหรือทำการกรอง จะทำให้  $\text{CO}_2$  ที่อยู่ในน้ำในสภาวะที่อิ่มตัวจากในถังปฏิบัติการเกิดการหลุดออกสู่อากาศ ส่งผลให้มีความเข้มข้นของปริมาณ  $\text{CO}_2$  ละลายน้ำลดลง และทำให้ค่าพีเอชที่วัดได้มีค่าสูงขึ้นเรื่อย ๆ

ตารางที่ 4.3 ค่าเฉลี่ยของพีเอชในช่วงสถานะคงตัว ( $n=6$ )

	Inf.	t=0*	Ana.	Aer.
ล.1	7.17	7.82	7.20	8.46
ล.2	7.17	7.76	7.30	8.34
ล.3	7.17	7.82	7.47	8.46
ล.4	7.17	7.76	7.27	8.35

\*ได้จากการคำนวณโดยนำค่าที่ inf + aer หารด้วย 2 เนื่องจากสัดส่วนน้ำเสียเข้าค่อน้ำเหลือค้ำงถึงคือ 1 ต่อ 1

สำหรับตัวอย่างน้ำท่ายแอโรบิกไม่พบการเพิ่มของค่าพีเอชเหมือนดังเช่นตัวอย่างน้ำท่ายแอนแอโรบิก ดังนั้นพอจะสรุปได้ว่าสาเหตุหลักที่ทำให้พีเอชในช่วงท่ายแอนแอโรบิกมีค่าลดลงแทนที่จะมีค่าสูงขึ้น คือปริมาณ  $\text{CO}_2$  ที่ละลายอยู่ในน้ำเสียนั้นเอง (ในช่วงเริ่มต้นหลังจากเติมน้ำเสียเข้าระบบ จะเกิดปฏิกิริยาแอน็อกซิกขึ้นก่อนเกิดปฏิกิริยาแอนแอโรบิก เนื่องจากมีไนเตรดเหลือค้ำงอยู่ในถังจากวัฏจักรก่อนหน้านั้น และปฏิกิริยาแอน็อกซิกโดยปกติจะมีผลทำให้ค่าพีเอชและสภาพต่างสูงขึ้น (Metcalf & Eddy, 1991) แต่ผลจากการทดลองนี้กลับได้ค่าพีเอชลดลง)

ตารางที่ 4.4 ค่าเฉลี่ยของสภาพต่าง (มก./ล.ในรูป  $\text{CaCO}_3$ ) ในช่วงสถานะคงตัว ( $n=6$ )

	Inf.	t=0*	Ana.	Aer.
ล.1	538	564	637	589
ล.2	538	563	640	588
ล.3	538	568	651	598
ล.4	538	567	654	596

\*ได้จากการคำนวณโดยนำค่าที่ inf + aer หารด้วย 2 เนื่องจากสัดส่วนน้ำเสียเข้าค่อน้ำเหลือค้ำงถึงคือ 1 ต่อ 1

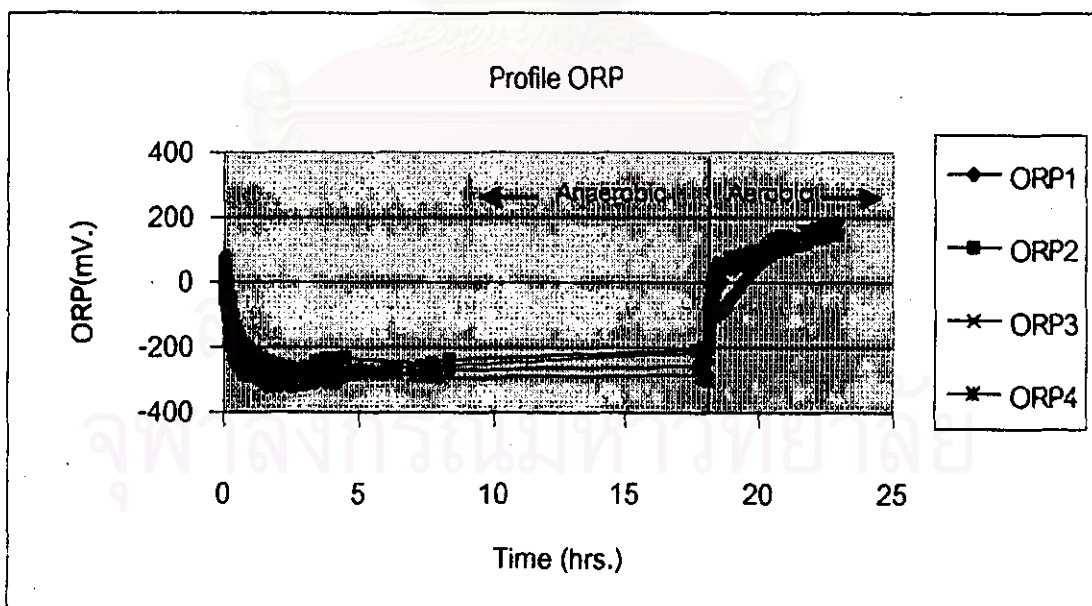
ส่วนผลของสภาพต่างในช่วงท่ายแอนแอโรบิกที่มีค่าเพิ่มขึ้น ก็เนื่องจากเกิดปฏิกิริยาดีไนตริฟิเคชันในช่วงต้นนั่นเองทำให้ค่าสภาพต่างสูงขึ้น ส่วนช่วงท่ายแอโรบิกมีค่าลดลงจากช่วงท่ายแอนแอโรบิก ก็เพราะเกิดปฏิกิริยาไนตริฟิเคชันมีการใช้ไบคาร์บอเนตไปในกระบวนการนั่นเอง

#### 4.1.2.2 โออาร์พี

ตารางที่ 4.5 ค่าเฉลี่ยของโออาร์พี(มิลลิโวลท์)ในช่วงสถานะคงตัว ( $n=6$ )

	Ana.	Aer.
ส.1	-203	122
ส.2	-183	127
ส.3	-201	128
ส.4	-201	130

ค่าโออาร์พีเป็นอีกพารามิเตอร์หนึ่งที่สามารถบอกระดับสภาพการทำงานในถังปฏิกริยาได้ กล่าวคือถ้าค่าโออาร์พีมีค่าติดลบมากๆก็แสดงว่าระบบกำลังอยู่ในช่วงแอนแอโรบิก แต่ถ้าโออาร์พีมีค่าเป็นบวก แสดงว่าขณะนั้นระบบอยู่ในสภาพแอโรบิก ซึ่งจากผลการทดลองดังแสดงในตารางที่ 4.5 ก็เป็นไปตามหลักการดังกล่าว



รูปที่ 4.3 โพรไฟล์โออาร์พี

(ข้อสังเกต - จะเกิดปัญหาในการวัดคล้ายกับการวัดค่าดีโอ กล่าวคือเมื่อจุ่มโพรบเข้าทำโพรไฟล์ในช่วงแอนแอโรบิกไปนานๆ (7-8 ชั่วโมง) ค่าโออาร์พีที่อ่านได้ค่อนข้างคงที่

แล้ว เมื่อทดลองยกโพรมบขึ้นมาล้างและจุ่มลงไปในวัดใหม่ ค่าที่อ่านได้จะมีค่าสูงขึ้นประมาณ 60-100 mV. เมื่อเวลาผ่านไป 1 ชั่วโมงก็ยังไม่สามารถอ่านค่าที่ระดับเดิมได้ ค่าที่อ่านได้จะยังคงสูงกว่าก่อนยกโพรมบขึ้นมาล้างประมาณ 10-50 mV.

ในงานวิจัยนี้ การวัดค่าโออาร์พีในการเก็บผลช่วงสถานะคงตัว จะใช้วิธีการจุ่มโพรมบลงไปในถังปฏิกิริยา รอจนกระทั่งค่าที่อ่านได้ค่อนข้างคงที่จึงจดบันทึกผล ซึ่งใช้เวลาโดยประมาณ 5 นาที)

#### 4.1.2.3 เอ็มแอลเอสเอสและเอสเอส

ในงานวิจัยนี้มีการรักษาอายุสลัดจ์ให้มีค่าคงที่ที่ 8 วัน ซึ่งหมายความว่าจะต้องมีการทิ้งสลัดจ์ออกจากถังปฏิกิริยาในช่วงท้ายแอโรบิก 1 ใน 8 ของปริมาณทั้งหมด ดังนั้นในช่วงสถานะคงตัว (รูป 4.4) ปริมาณของสลัดจ์ที่ทิ้งไปและเกิดขึ้นใหม่อยู่ในช่วง 2.41-2.56 กรัมเอ็มแอลเอสเอส/วัฏจักร (ขนาดของถังปฏิกิริยาเท่ากับ 10 ลิตร) จากตารางที่ 4.6 พบว่าโครงสร้างทางเคมีของสีที่แตกต่างกันไม่ได้ส่งผลให้เห็นความแตกต่างอย่างเป็นนัยสำคัญต่อค่า MLSS ของระบบและ SS ของน้ำทิ้ง (มาตรฐานน้ำทิ้งเอสเอส 50 มก./ล.)

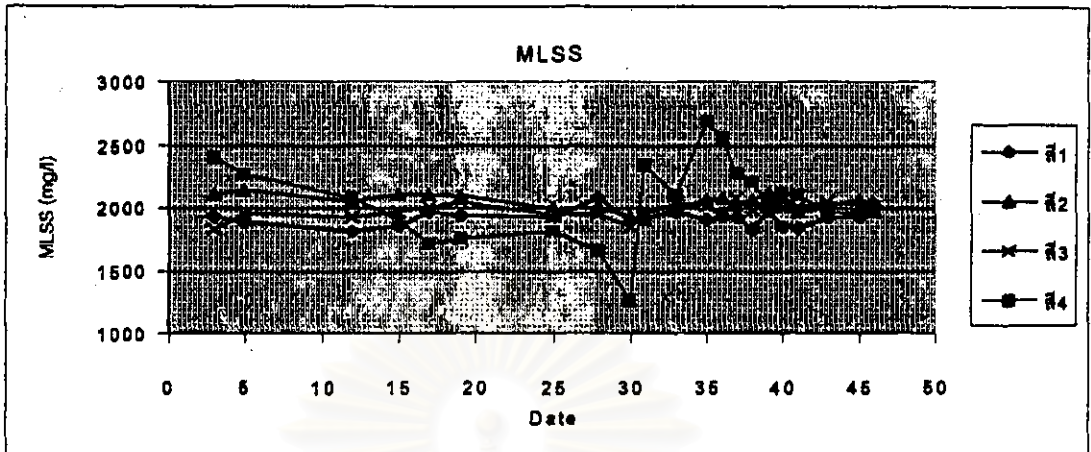
ตารางที่ 4.6 MLSS และ SS (มก./ล.) ในช่วงสถานะคงตัว (n=8)

	MLSS ที่ t=0*	MLSS ท้ายแอโรบิก	SS**
สี 1	1689	1930	39
สี 2	1794	2050	31
สี 3	1773	2026	30
สี 4	1776	2030	46

\*คำนวณจาก (MLSS ท้ายแอโรบิกคูณด้วย 7/8)

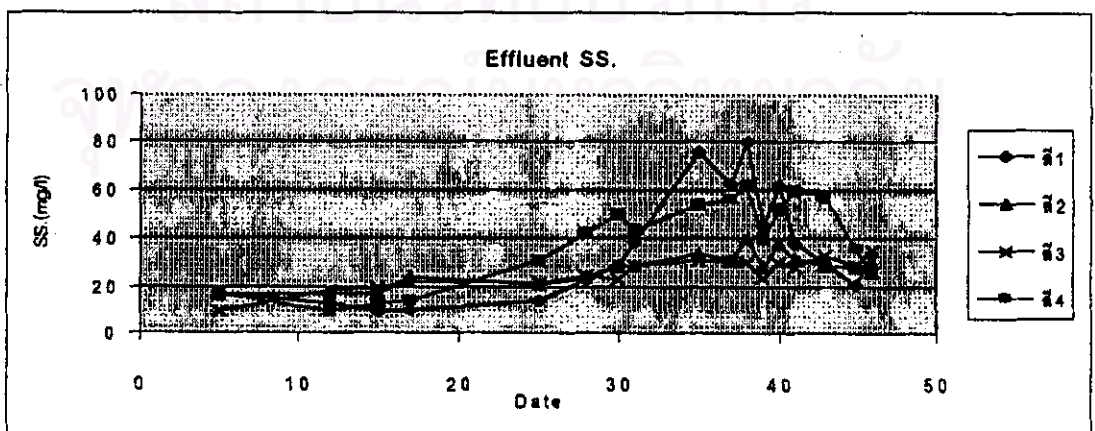
\*\*ทำการวัดช่วงระบายน้ำใสส่วนบนออก





รูปที่ 4.4 ค่าเอ็มแอลเอสเอสของระบบฯตลอดการทดลอง

จากรูปที่ 4.4 เป็นที่น่าสังเกตว่าค่า MLSS ของเฉพาะถังปฏิบัติการที่ 4 (S4) จากวันเริ่มต้นจนถึงวันที่ 30 มีค่าค่อยๆลดลง แต่พอวันถัดมามีค่าสูงขึ้น ทั้งนี้เนื่องจากการกวนไม่เพียงพอทำให้ตัวอย่างที่นำมาทำการวัด MLSS ได้ค่าต่ำลง โดยฟล็อกส่วนใหญ่จะไปติดอยู่ตามมุมถังปฏิบัติการ ส่งผลให้การนำสลัดจ์ส่วนเกินทิ้งไม่ได้สัดส่วนตามที่ต้องการ ทำให้มีสลัดจ์เหลือค้างอยู่ในถังปฏิบัติการอยู่มากกว่าที่ควรจะเป็น ผู้วิจัยจึงทำการขัดถังเพื่อให้ฟล็อกที่ติดอยู่ตามมุมของถังปฏิบัติการได้กระจายอย่างทั่วถึงกัน ดังนั้นผลค่า MLSS ในวันถัดจากวันที่ 30 จึงมีค่าสูงขึ้นทันทีทันใด แต่สำหรับอีก 3 ถังแรกกลับไม่พบปรากฏการณ์ดังกล่าวทั้งนี้ก็ทำการขัดถังเช่นเดียวกัน จากรูปที่ 4.5 ซึ่งแสดงให้เห็นว่าตั้งแต่ประมาณวันที่ 25 ของการทดลอง พบว่าค่าเอสเอสของน้ำทิ้งมีแนวโน้มที่สูงขึ้นเรื่อยๆ ทั้งนี้เป็นเพราะผู้วิจัยเริ่มทำการขัดถังปฏิบัติการทุกวันด้วยแปรงในช่วงเริ่มป้อนน้ำเสียเข้าระบบฯ



รูปที่ 4.5 ค่าเอสเอสของน้ำทิ้งตลอดการทดลอง

#### 4.1.2.4 ซีโอดี

จากตารางที่ 4.7 พบว่าโครงสร้างสี (ความเข้มข้น 20 มก./ล.) ไม่มีผลต่อการกำจัดซีโอดี โดยประสิทธิภาพการกำจัดซีโอดีมีค่าอยู่ระหว่างร้อยละ 96-97 ทั้งนี้ก็เนื่องจากสารอาหารที่ใช้ในการทดลองนี้เป็นสารอาหารที่จุลชีพในระบบสามารถนำไปใช้ได้ง่ายและรวดเร็วอยู่แล้ว นอกจากนี้ยังมีเวลากักน้ำ (HRT) และอายุสลัดจ์ (SRT) ที่สูงพอนั่นเอง และยังพบอีกว่าค่าซีโอดีลดลงในช่วงแอนแอโรบิกเป็นส่วนใหญ่ โดยมีการเพิ่มขึ้นเล็กน้อยในช่วงท้ายแอโรบิก ตามความเห็นของผู้วิจัยคิดว่าค่าซีโอดีที่เซลล์จุลชีพสามารถดูดซึมได้ จะถูกดูดซึมเข้าไปในเซลล์ทั้งหมดตั้งแต่ในช่วงแอนแอโรบิก ซึ่งถ้าดูจากโปรไฟล์ของซีโอดีในรูปที่ 4.6 ค่าซีโอดีที่เซลล์จุลชีพดูดซึมได้น่าจะหมดไปตั้งแต่ช่วง 2-3 ชั่วโมงแรกของปฏิกิริยาแอนแอโรบิก และค่าซีโอดีที่เหลืออยู่ น่าจะเป็นค่าซีโอดีของสีซึ่งแบคทีเรียไม่สามารถดูดซึมได้

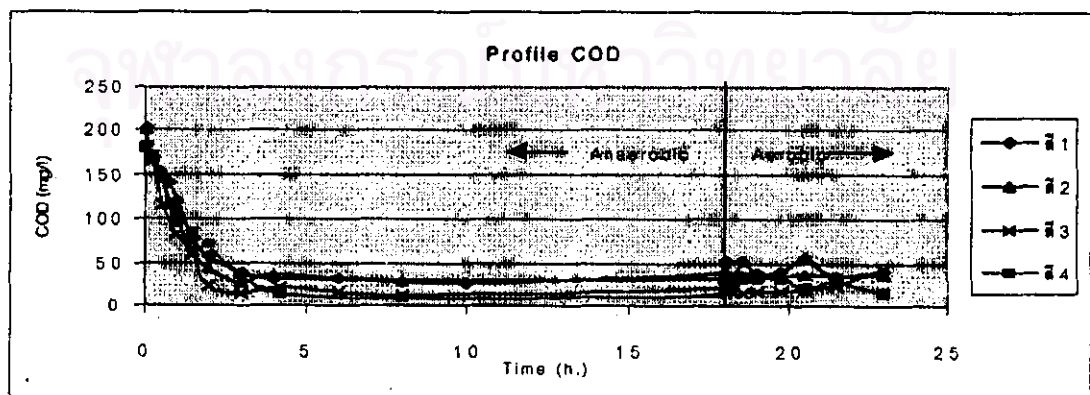
ตารางที่ 4.7 ซีโอดี (มก./ล.) ในช่วงสถานะคงตัว (n=6)

	Inf <sub>T</sub>	T=0	Ana <sub>T</sub>	Aer <sub>T</sub>	%rem.**
สี 1	974	505	34	36	96.3
สี 2	984	508	28	32	96.7
สี 3	976	506	29	35	96.4
สี 4	976	504	28	32	96.7

\*ได้จากการคำนวณโดยนำค่าที่ inf + aer หารด้วย 2 เนื่องจากสัดส่วนน้ำเสียเข้าต่อน้ำเหลือค้ำงถึงคือ 1 ต่อ 1

\*\*คำนวณจาก  $(Inf - aer) / Inf * 100$

T = Total, F = Filtrate



รูปที่ 4.6 โปรไฟล์ซีโอดี

หลังจากเข้าสู่ช่วงแอนโรบิกที่มีการกวนน้ำรุนแรงกว่าในช่วงแอนแอนโรบิก สีที่ถูกดูดติดอยู่บนฟล็อกของจุลชีพถูกปล่อยกลับมาอยู่ในน้ำเสียอีก (กล่าวถึงในหัวข้อ 4.1.3.1 รูป 4.8) ซึ่งจะส่งผลให้ค่าซีโอดีและค่าสีสูงขึ้นจากช่วงท้ายแอนแอนโรบิกเล็กน้อยในช่วงแรก

#### 4.1.2.5 ทีเคเอ็น

จากตารางที่ 4.8 พบว่าประสิทธิภาพการกำจัดทีเคเอ็นอยู่ระหว่างร้อยละ 96-99 ซึ่งพอจะสรุปได้ว่าโครงสร้างสี(ความเข้มข้น 20 มก./ล.)ไม่มีผลต่อการลดลงของค่าทีเคเอ็นในระบบขออย่างเป็นนัยสำคัญ ค่าทีเคเอ็นที่เวลาเริ่มต้น ( $t=0$ ) เมื่อผ่านเข้าสู่กระบวนการแอนแอนโรบิกจะค่อยๆลดลงดังรูปที่ 4.7 สาเหตุที่เป็นเช่นนี้เนื่องมาจากการดึงเอาไนโตรเจนไปเก็บไว้ในเซลล์เพื่อสร้างกลุ่มกรดอะมิโนและโพลีเพปไทด์ หลังจากนั้นเมื่อเข้าสู่กระบวนการแอนโรบิก ไนโตรโซโมนัสและไนโตรแบกเทอร์จะทำการเปลี่ยนแอมโมเนียในโตรเจนที่เหลืออยู่ให้เปลี่ยนไปอยู่ในรูปของไนไตรต์และไนเตรตตามลำดับ และใช้ในการสร้างเซลล์ด้วย ทำให้ค่าทีเคเอ็นลดลงอย่างรวดเร็วในครึ่งชั่วโมงแรก

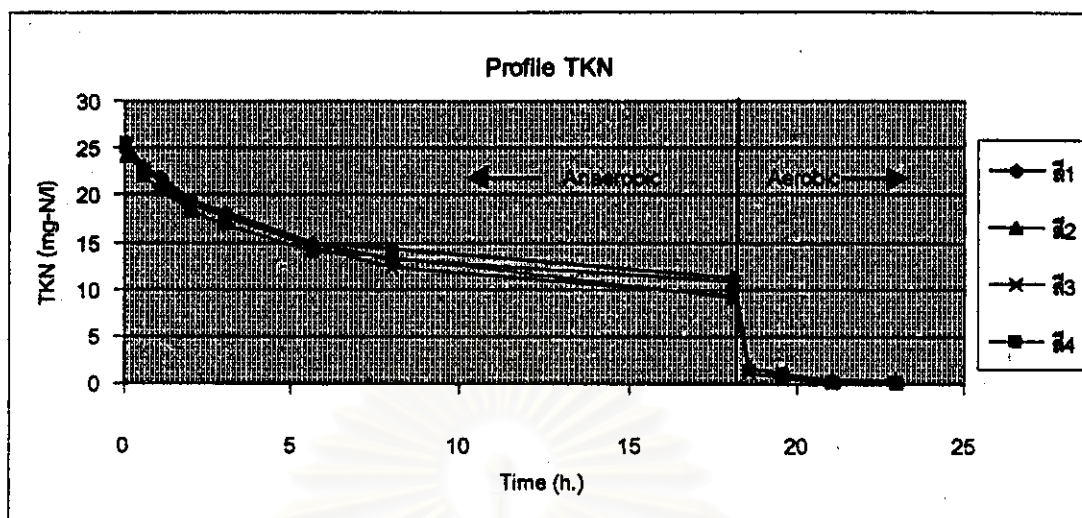
ตารางที่ 4.8 ทีเคเอ็น (มก./ล.ในรูปไนโตรเจน) ในช่วงสถานะคงตัว ( $n=6$ )

	Inf. <sub>T</sub>	T=0	Ana. <sub>T</sub>	Aer. <sub>T</sub>	%rem.**
สี 1	49.6	25.3	10.1	1.0	98.0
สี 2	49.6	25.1	10.3	0.6	98.8
สี 3	49.6	25.3	10.5	1.0	98.0
สี 4	49.6	25.7	10.6	1.8	96.4

\*ได้จากการคำนวณโดยนำค่าที่ Inf + aer ทหารด้วย 2 เนื่องจากสัดส่วนน้ำเสียเข้าค่อน้ำเหลือค้ำงถึงคือ 1 ต่อ 1

\*\*คำนวณจาก  $(Inf - aer) / Inf * 100$

T = Total F = Filtrate



รูปที่ 4.7 โปรไฟล์ทีเคเอ็น

#### 4.1.3 พารามิเตอร์ที่กระทบได้โดยโครงสร้างสี

พารามิเตอร์จากการวิจัยที่เกิดผลแตกต่างกันอย่างมีนัยสำคัญเมื่อโครงสร้างสีแตกต่างกัน มีดังนี้

##### 4.1.3.1 ค่าสีเอสยู(SU)และค่าสีเอดีเอ็มไอ(ADMI)

จากตารางที่ 4.9 พบว่าผลการวัดสีในหน่วย ADMI แปรตามกันกับผลการวัดสีในหน่วย SU โดยพบว่าการลดสีส่วนใหญ่เกิดขึ้นที่ขั้นตอนแอนแอโรบิกดังเช่นสีอะไซ (สี1) ลดลงจาก 97.3 SU (1426 ADMI) มาเป็น 37.4 SU (627 ADMI) และ 36.5 SU (608 ADMI) ในขั้นตอนแอนแอโรบิกและแอโรบิกตามลำดับ

เมื่อดูจากรูปที่ 4.8 พบว่าโครงสร้างสีอะไซ (สี1) ถูกกำจัดได้ง่ายกว่าสีแอนทราควิโนนทั้งสองประเภท (สี2, สี3) คือการลดสีของสีอะไซเกิดขึ้นอย่างมากในช่วง 5 นาทีถึง 2 ชั่วโมงแรกของกระบวนการแอนแอโรบิก โดยมีอัตราการลดสี 11.9 SU/ชม. และอัตราการลดสีจำเพาะ (specific decolorisation rate, SDR) เท่ากับ 6.72 SU/ก.VSS-ชม. หลังจากนั้นจะเกิดการลดสีในอัตรา 0.44 SU/ชม. หรือ 0.25 SU/ก.VSS-ชม. ที่ใกล้เคียงกับของสีแอนทราควิโนน 1, 2 ซึ่งมีอัตราการลดสีเท่ากับ 0.37, 0.48 SU/ชม. หรือ 0.19, 0.25 SU/ก.VSS-ชม. ตามลำดับ)

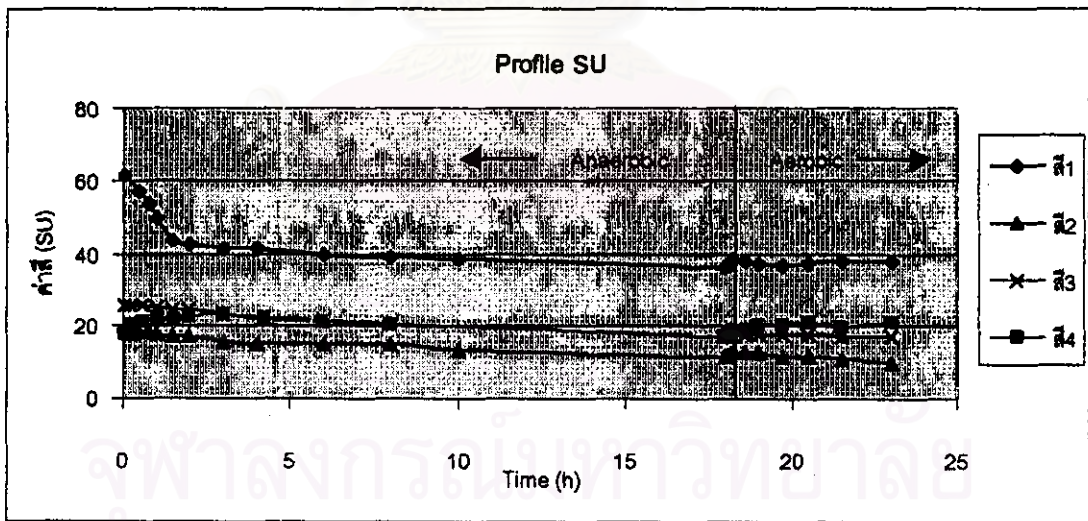
ตารางที่ 4.9 ค่าสีในหน่วยเอสยู(SU) และเอดีเอ็มไอ(ADMI) ในช่วงสถานะคงตัว (n=6)

ค่าสี		Inf <sub>TC</sub>	Inf <sub>0°</sub>	Aer <sub>TC</sub>	Aer <sub>0°</sub>	%rem <sup>**</sup>
SU	สี 1	973	68.9	37.4	36.5	63
	สี 2	285	20.0	12.6	10.5	64
	สี 3	434	29.1	14.1	14.8	66
	สี 4	526	42.0	29.6	31.3	67
ADMI	สี 1	626	1017	127	608	67
	สี 2	587	389	249	191	68
	สี 3	808	545	269	284	65
	สี 4	682	832	827	681	61

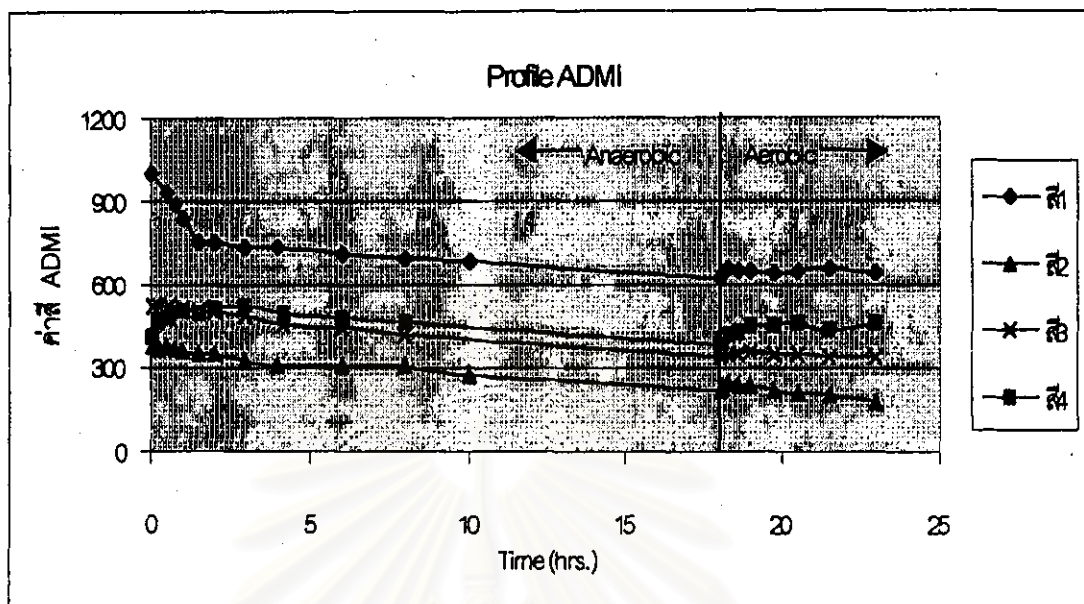
\*ได้จากการคำนวณโดยนำค่าที่ inf + aer ทหารด้วย 2 เนื่องจากสัดส่วนนำเสียเข้าต่อหน้าเหลือค้ำงคือ 1 ต่อ 1

\*\*คำนวณจาก (Inf - aer) / Inf \* 100

TC = True Color, F = Filtrate กรองด้วยกระดาษกรอง GF/C และกรองต่อด้วยกระดาษกรอง 0.45 ไมครอน

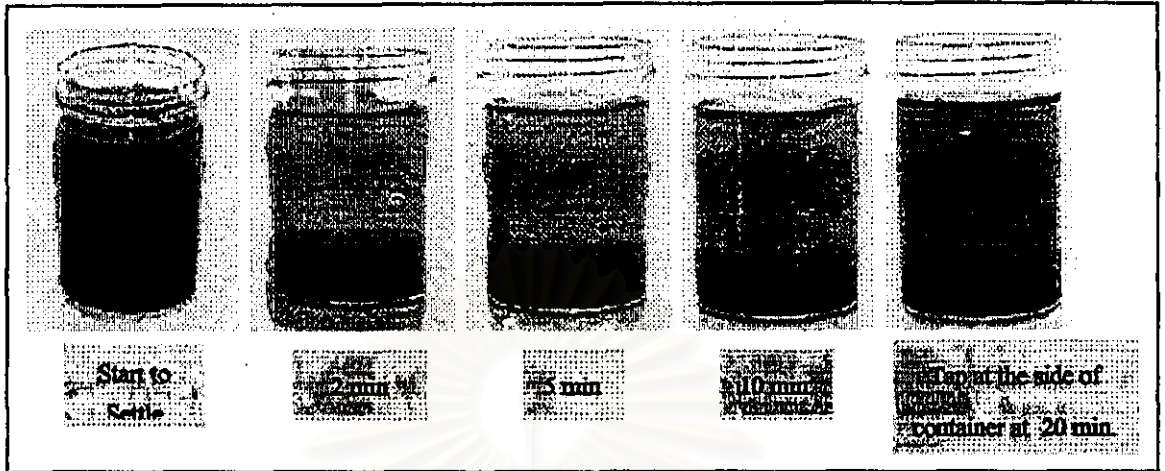


รูปที่ 4.8 โปรไฟล์ค่าสีในหน่วยเอสยู (SU)



รูปที่ 4.9 โปรไฟล์ค่าสีในหน่วยเอดีเอ็มไอ (ADMI)

สำหรับสีโครงสร้าง Oxazine (สี 4) พบว่าสีที่ปรากฏให้เห็นด้วยตาในถังปฏิกิริยา ในช่วงแอนแอโรบิกมีการลดลงของสีอย่างเห็นได้ชัดจนแทบไม่มีสีเมื่อปล่อยให้เกิดการจมตัวของ สลัดจ์ในถังปฏิกิริยา แต่เมื่อดักน้ำออกมาจากถังปฏิกิริยาแล้วนำไปกรองเพื่อทำการวัดสี กลับ ปรากฏว่าเกิดการรวมกันอย่างโคอย่างหนึ่งต่อโครงสร้างสีและน้ำที่กรองได้กลับมีสีเข้มขึ้นมาอีก อันเป็นปรากฏการณ์ที่ประหลาด แต่ยังไม่สามารถหาสาเหตุได้ ดังในรูปที่ 4.10 ผู้วิจัยได้ดักน้ำ เสียตัวอย่างจากถังปฏิกิริยาของสีออกซาซินหลังจากผ่านช่วงแอนแอโรบิกไปแล้ว 3.5 ชั่วโมง มา ปล่อยให้ตกตะกอนและทำการสังเกตผลที่เกิดขึ้นต่อการกลับมาของสีที่เวลาต่างๆกัน โดย สามารถสังเกตเห็นการแขวนลอยของการกลับมาของสีฟ้าจากสีออกซาซินได้ชัดเจนยิ่งขึ้นเมื่อ เวลาผ่านไปนานขึ้น และเมื่อทำการดีดหรือเขย่าที่ข้างกระป๋องจะเป็นการเร่งให้การกลับมาของสี ออกซาซินเกิดได้เร็วขึ้น จากเหตุผลดังกล่าวทำให้ยังไม่สามารถสรุปประสิทธิภาพและกลไกการ ลดสีของสีนี้ได้ สำหรับผลการทดลองต่างๆของสีนี้ได้แสดงไว้ในตารางและรูปเป็นผลที่ได้หลังจาก ทำการกรองและสีได้กลับเข้มขึ้นแล้ว



รูปที่ 4.10 การกลับมาของสีออกซาคีน

4.1.3.2 ฟอสฟอรัสละลาย

การทดลองที่ความเข้มข้น 20 มก./ล. พบว่าในกรณีของสีอะโซและสีออกซาคีนเกิดการปล่อย (release) และจับใช้ (uptake) ของฟอสฟอรัสในขั้นตอนแอนแอโรบิกและแอโรบิกตามลำดับอย่างเห็นได้ชัด อันแสดงให้เห็นว่าสองระบบนี้เป็นกระบวนการ Enhanced Biological Phosphorus Removal (EBPR) และมี PAO อยู่จำนวนหนึ่ง

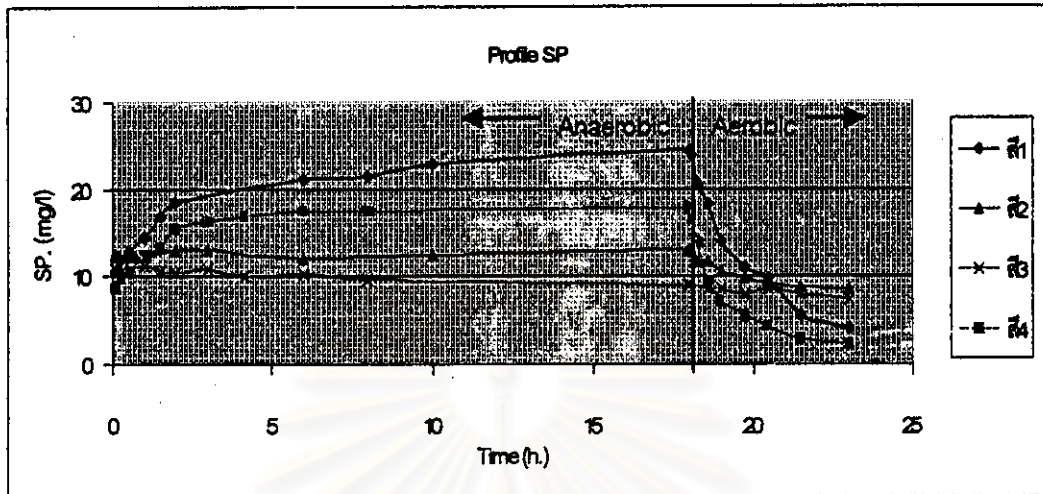
ตารางที่ 4.10 ค่าฟอสฟอรัส (มก./ล. ในรูป P) ในช่วงสถานะคงตัว (n=8)

	Inf <sub>TP</sub>	Inf <sub>SP</sub>	Ana <sub>SP</sub>	Aer <sub>SP</sub>	%rem.**	P-Cell (mg P/g VSS)
วัน 1	16.3	9.95	26.0	3.6	78	26
วัน 2	16.3	12.1	13.8	7.9	52	16.5
วัน 3	16.3	13.8	11.7	3.6	41	13.3
วัน 4	16.3	8.5	28.6	0.6	98	30.3

\*ได้จากการคำนวณโดยนำค่าที่ inf + aer ทหารด้วย 2 เนื่องจากสัดส่วนน้ำเสียเข้าค่อน้ำเหลือค้างถังคือ 1 ต่อ 1

\*\*คำนวณจาก (Inf - aer) / Inf \* 100

TP = Total Phosphorus SP = Soluble Phosphorus (0.45 μ filtered)



รูปที่ 4.11 โพรไฟล์ค่าฟอสฟอรัส

จากตารางที่ 4.10 กรณีของสี่ไฮสโอะโซและสี่อีอกซาซิน(ทดลองที่ความเข้มข้น 20 มก./ล.) มีการปล่อยฟอสฟอรัสเพิ่มจาก 16.3 ในน้ำเข้าเป็น 26 และ 28.6 มก./ล.ในขั้นตอนแอนแอโรบิก ตามลำดับ และถูกจับใช้ไปโดยเซลล์PAOจนเหลือฟอสฟอรัสในน้ำทิ้งเพียง 3.6 และ 0.6 มก./ล.ในรูปของฟอสฟอรัส ซึ่งเป็นผลงานที่ดีพอควรทีเดียว นั่นคือระบบเป็นกระบวนการ EBPR และมี PAO เกิดขึ้นในดังปฏิกิริยา ทำให้เกิดการกำจัดฟอสฟอรัสมากกว่าในกรณีระบบของสี่แอนทราควิโนน (สี่2, สี่3) โดยน้ำทิ้งของสี่แอนทราควิโนนมีฟอสฟอรัสละลายเท่ากับ 7.9 และ 9.6 มก./ล.ในรูปของฟอสฟอรัส ตามลำดับ ซึ่งแสดงว่าสี่แอนทราควิโนนมีผลกระทบต่อ PAO มากกว่าสี่อีก 2 ชนิด

#### 4.1.3.3 ค่า VSS/TSS, ค่า SV30, ค่า SVI

จากผลการทดลองตั้งตารางที่ 4.11 พบว่าเปอร์เซ็นต์ VSS/TSS ของมวลจุลชีพแปรผกผันกับประสิทธิภาพการกำจัดฟอสฟอรัส (ตารางที่ 4.10) กล่าวคือจุลชีพในดังปฏิกิริยาที่สามารถกำจัดฟอสฟอรัสได้สูง (สี่1, สี่4) จะมีค่าเปอร์เซ็นต์ VSS/TSS ต่ำ และดังปฏิกิริยาที่แทบจะไม่พบการปล่อยและจับใช้ของฟอสฟอรัสโดยเซลล์จุลชีพเลย จะมีค่าเปอร์เซ็นต์ VSS/TSS สูงกว่า ทั้งนี้เนื่องมาจากในขั้นตอนการจับใช้(uptake)ฟอสฟอรัสของจุลชีพจะมีการดึงเอาแมกนีเซียมและโปแตสเซียมเข้าไปในเซลล์พร้อมๆกับการจับใช้ฟอสฟอรัสเข้าเซลล์ (Randall, 1996) ซึ่งธาตุต่างๆเหล่านี้จะเข้าไปอยู่ในรูปของสารอนินทรีย์และไม่สามารถละลายตัวได้ที่



อุณหภูมิ 550°C ดังนั้นจึงทำให้น้ำหนักของ Fixed Solids ในมวลจุดชีพมีค่าสูงขึ้นและส่งผลให้เปอร์เซ็นต์ VSS/TSS ของจุดชีพมีค่าต่ำกว่าจุดชีพที่ไม่เป็น PAO

ตารางที่ 4.11 ค่า VSS/TSS(%), ค่า SV30 และค่า SVI ในช่วงสถานะคงตัว (n=6)

	VSS/TSS(%)	SV30	SVI
ส.1	92	115	61
ส.2	94	145	70
ส.3	94	130	63
ส.4	90	105	53

นอกจากนี้ยังพบว่ายังมีแนวโน้มที่ค่า SV30 และ SVI จะแปรผกผันกับประสิทธิภาพการกำจัดฟอสฟอรัสเช่นกัน กล่าวคือโครงสร้างลีโออกซาซิน(ส.4)ซึ่งสามารถกำจัดฟอสฟอรัสได้ดีมีค่า SV30 และ SVI ต่ำกว่าค่า ลีโอโซ(ส.1)ซึ่งกำจัดฟอสฟอรัสได้ในระดับที่รองลงมาจึงมีค่า SV30 และ SVI สูงขึ้น และลีโอโครงสร้างแอนทราควิโนน(ส.2, ส.3)ซึ่งแทบจะไม่มี PAO เลย (เนื่องจากไม่เกิดการปล่อยฟอสฟอรัสออกมาในน้ำเสีย ดังรูปที่ 4.11) ก็จะมีค่า SV30 และ SVI สูงขึ้นมาอีก คิดว่าอาจเนื่องมาจากเซลล์จุดชีพที่เป็น PAO และมีค่าเปอร์เซ็นต์ VSS/TSS ต่ำ น่าจะมีความหนาแน่นจำเพาะของเซลล์สูงกว่าจุดชีพที่ไม่เป็น PAO ทำให้มีสมบัติในการตกตะกอนที่ดีกว่า และส่งผลให้ได้ค่า SV30 และ SVI ต่ำกว่าจุดชีพที่ไม่เป็น PAO

#### 4.1.3.4 ค่าวีเอฟเอ

ในงานวิจัยนี้วัดค่าวีเอฟเอโดยการไทเทรตจากพีเอช 4-7 แล้วคำนวณย้อนกลับเป็นค่าวีเอฟเอ โดยทำการแปลงรูปสภาพต่างวีเอฟเอเป็นวีเอฟเอในรูปของกรดแอสซิติค ถ้าสภาพต่างวีเอฟเอมีค่ามากกว่า 180 มก./ล.ต้องคูณด้วย 1.5 แต่ถ้าน้อยกว่าก็ใช้ตัวเลขนั้นเป็นค่าวีเอฟเอในรูปกรดแอสซิติคได้เลย ซึ่งวิธีนี้มีความผิดพลาดจากค่าปริมาณฟอสเฟตละลายน้ำ กล่าวคือถ้าปริมาณฟอสเฟตละลายน้ำสูงจะส่งผลให้ค่าวีเอฟเอที่วัดได้สูงขึ้นด้วยเช่นกัน (คู่มือวิเคราะห์น้ำเสีย, 2540) ซึ่งผลวีเอฟเอของแต่ละถังปฏิกิริยาดังตารางที่ 4.12 ก็แปรผันตามกันกับปริมาณฟอสฟอรัสละลายดังในตารางที่ 4.10 กล่าวคือ วีเอฟเอในช่วงแอนแอโรบิกจำนวนมาก ถูกดึงเข้าไปไว้ในเซลล์ และเหลือเพียงส่วนน้อยที่เข้าสู่ถังแอโรบิก และถูกใช้จนกระทั่งเกือบไม่มีเหลือเลย แต่จากการวัดกลับพบว่ายังคงมีวีเอฟเอเหลืออยู่ไม่น้อย (โดยเฉพาะกรณีส.1 และส.4) ทั้งนี้อาจเป็นผลจากความผิดพลาดในการวิเคราะห์ (titrate) นั้นเอง

ตารางที่ 4.12 ค่าวีเอฟเอ (มก./ล.ในรูปกรดแอสซิดิก) ในช่วงสถานะคงตัว ( $n=6$ )

	Inf.	Anac.	Aer.
ล.1	118	37	12
ล.2	118	28	16
ล.3	118	21	18
ล.4	118	42	9

#### 4.1.4 สรุปผลการทดลองในชุดความเข้มข้น 20 มก./ล.

จากผลการทดลองในขั้นตอนแรกของระบบเอสบีอาร์แบบแอนแอโรบิก-แอโรบิกดังกล่าว ในหัวข้อที่ 4.1 สรุปได้ว่าที่ความเข้มข้นของสี 20 มก./ล. โครงสร้างทางเคมีของสีย้อมรีนออกทีฟที่แตกต่างกันไม่ได้ส่งผลให้ค่าพีเอช, สภาพต่าง, โออาร์พี, เอ็มแอลเอสเอส, เอสเอส, ค่าซีโอดี และทีเคเอ็นของระบบมีความแตกต่างกัน แต่มีผลต่อลักษณะของการลดสีและการกำจัดฟอสฟอรัส กล่าวคือสีโครงสร้างอะโซ(สี1)ถูกกำจัดได้ง่ายกว่าสีแอนทราควิโนนทั้งสองประเภท(สี2 และสี3) สำหรับสีโครงสร้างอ็อกซาซิน(สี4)พบว่าสีที่ปรากฏให้เห็นด้วยตาในถังปฏิกรณ์ในช่วงแอนแอโรบิกมีการลดลงของสีอย่างเห็นได้ชัดจนแทบไม่มี แต่เมื่อตักน้ำออกมาจากถังปฏิกรณ์แล้วนำไปกรองเพื่อทำการวัดสี กลับเกิดการรบกวนได้น้ำเสียที่มีสีเข้มข้นมาอีก ซึ่งยังไม่สามารถหาสาเหตุได้ สำหรับการกำจัดฟอสฟอรัสพบว่าชุดสีอ็อกซาซินมีประสิทธิภาพการกำจัดดีที่สุด ถัดมาเป็นชุดสีอะโซ ส่วนชุดสีแอนทราควิโนนทั้งสองประเภทแทบจะไม่เกิดกระบวนการ EBPR เลย จากผลดังกล่าวทำให้ค่า VSS/TSS, ค่า SV30 และค่า SVI ของระบบแตกต่างกันด้วย

#### 4.2 ปัจจัยอื่น ๆ ที่มีผลต่อการลดสี

ผู้วิจัยได้ทำการศึกษาต่อถึงผลกระทบจากปัจจัยอื่น ๆ ต่อการลดสี โดยนำน้ำเสียสีจากถังปฏิกรณ์ของระบบเอสบีอาร์แบบแอนแอโรบิก-แอโรบิกทั้ง 4 ชนิด (ซึ่งได้ทำการเก็บผลช่วงสถานะคงตัวไปแล้วดังแสดงผลในหัวข้อที่ 4.1) ที่เวลา  $t=5$  นาที ซึ่งเป็นช่วงเริ่มต้นของระบบหลังจากที่ทำการเติมน้ำเสียเข้าถังปฏิกรณ์โดยตั้งสมมติฐานว่าน้ำเสียได้ถูกผสมจนมีลักษณะเข้าเป็นเนื้อเดียวกันแล้ว นำมาใส่ในหลอดแก้วมีฝาปิดขนาด 30 มล. ปล่อยให้สลัดจ์จมตัวอยู่ที่ก้นหลอด โดยไม่มีการเขย่าหรือการกวน ทำการวัดค่าซีโอดีและค่าสีในหน่วยเอสยู โดยแต่ละค่าที่นำเสนอจะได้จากผลเฉลี่ยของตัวอย่างน้ำเสีย 3 หลอดที่สภาวะเดียวกันมาเปรียบเทียบที่เวลาต่าง ๆ กัน ได้ผลการทดลองดังต่อไปนี้

#### 4.2.1 ผลของไนเตรต

เมื่อนำน้ำเสียจากถังปฏิกิริยาที่  $t=5$  นาทีมาแล้ว มาทดลองต่อแบบแบคทีเรีย โดยได้ทำการเปลี่ยนแปลงให้มีปริมาณไนเตรตเริ่มต้นที่แตกต่างกัน 3 ค่า คือ

ชุด C เป็นชุดควบคุม ( $t=5$ )

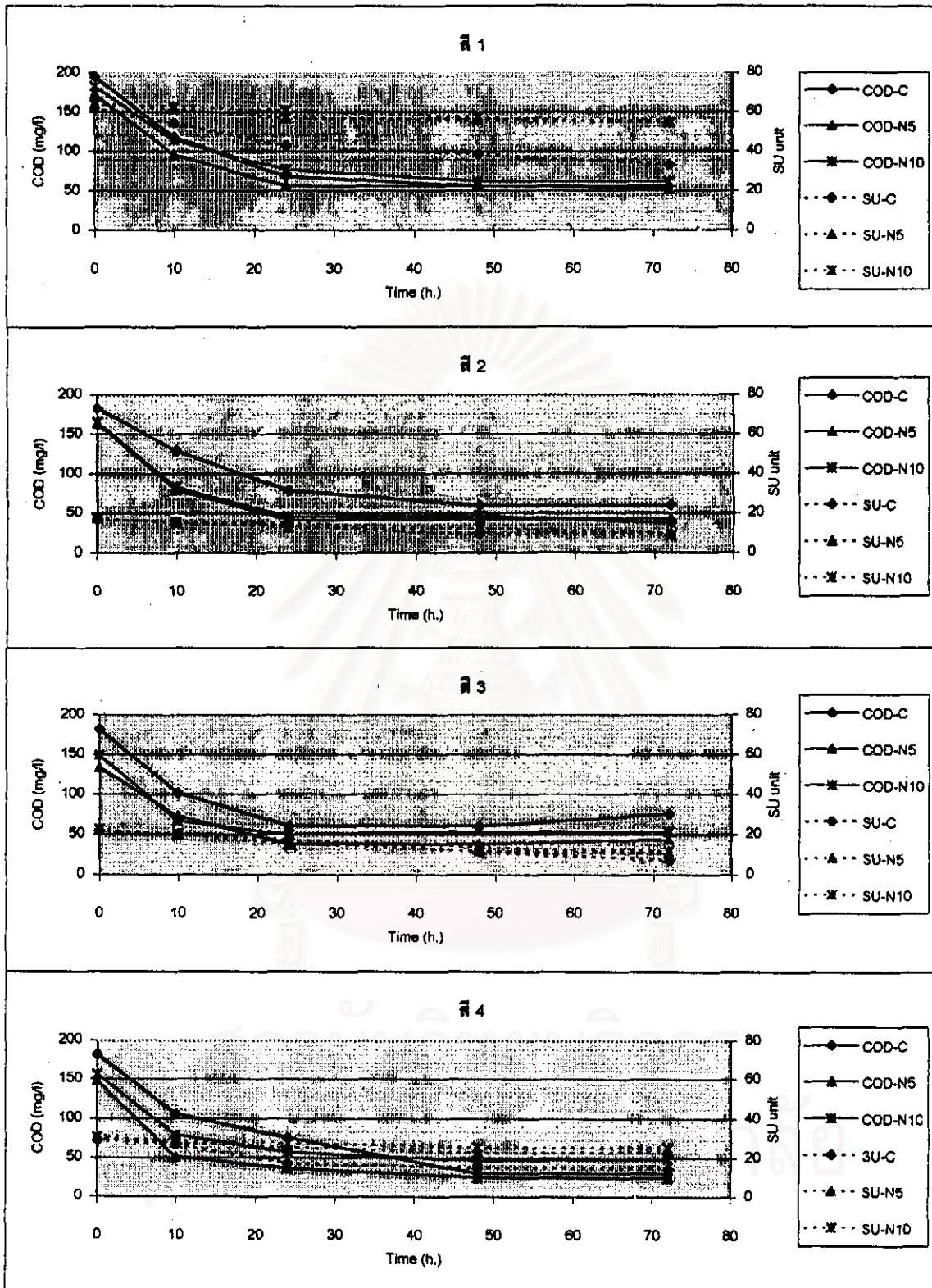
ชุด N5 เป็นชุด  $t=5$  + ไนเตรต 5 m-mol (โดยการเติมผง  $\text{NaNO}_3$  ชนิดแล็บเกรด ให้ได้ความเข้มข้น 425 มก./ล.)

ชุด N10 เป็นชุด  $t=5$  + ไนเตรต 10 m-mol (โดยการเติมผง  $\text{NaNO}_3$  ชนิดแล็บเกรด ให้ได้ความเข้มข้น 850 มก./ล.)

โดยนำมาตั้งทิ้งไว้ในห้องทดลอง (อุณหภูมิประมาณ 28-33 °ซ. ไม่โดนแดด) ทำการเก็บผลที่เวลาต่าง ๆ ดังแสดงในตารางที่ 4.13

ตารางที่ 4.13 ผลของไนเตรตต่อการลดสี

	COD				SU				
	สี1	สี2	สี3	สี4	สี1	สี2	สี3	สี4	
ชุด C	5 min.	195	184	182	182	62.0	17.3	21.9	29.2
	10 h.	118	129	102	108	54.7	15.8	20.2	27.1
	24 h.	68	79	61	76	42.9	13.9	17.8	17.2
	48 h.	56	60	61	31	38.7	9.4	11.7	15.4
	72 h.	57	61	76	31	33.6	9.4	7.5	14.9
ชุด N5	5 min.	173	164	134	148	64.1	17.5	22.5	30.7
	10 h.	96	80	73	51	61.7	15.3	20.3	27.9
	24 h.	56	42	39	37	57.2	13.2	15.8	25.6
	48 h.	57	43	39	25	56.1	12.4	12.0	22.9
	72 h.	53	44	45	26	55.8	10.3	10.9	23.1
ชุด N10	5 min.	183	166	150	156	64.0	17.7	22.6	30.6
	10 h.	114	83	67	79	62.9	15.8	20.2	28.8
	24 h.	77	46	50	57	60.7	15.5	17.7	27.7
	48 h.	62	47	55	47	57.6	12.5	13.9	25.7
	72 h.	62	38	54	50	54.5	8.9	12.0	25.8



รูปที่ 4.12 ค่าซีโอดีและค่าซีเอสยูในชุดการทดลองการรบกวนการทำจัดสีด้วยไนเตรต

จุด C เป็นชุดควบคุม ( $t=5$ )

จุด N5 เป็นชุด  $t=5$  + ไนเตรต 5 m-mol

จุด N10 เป็นชุด  $t=5$  + ไนเตรต 10 m-mol

จากรูปที่ 4.12 จะเห็นได้ว่าการลดลงของค่าซีไอของทุกสปีมีลักษณะที่คล้ายกัน คือชุด N5 และ N10 ที่มีการเติมในเทรตเพิ่มลงไปมีแนวโน้มที่จะมีการลดของค่าซีไอได้มากกว่าชุด C ซึ่งเป็นชุดควบคุม ซึ่งน่าจะมีสาเหตุมาจากการใช้ซีไอในการเปลี่ยนในเทรตให้เป็นในโตรเจน ก๊าซของดีไนโตรฟายอิงแบคทีเรียเป็นหลัก จากผลดังกล่าวแสดงว่าปริมาณในเทรตที่เติมลงไปไม่ได้ทำให้แบคทีเรียตายหรือไปยับยั้งการทำงานของแบคทีเรียแต่อย่างใด แต่เมื่อพิจารณาทางด้านการลดสีพบว่าปริมาณในเทรตส่งผลต่อการลดสีของสีอะโซ(สี1)อย่างมาก ส่วนสีแอนทราควิโนน(สี2, สี3)ได้ผลกระทบจากปริมาณในเทรตที่เพิ่มขึ้นน้อย สำหรับสีออกซาซีน(สี4)การวัดค่าสีของสีชนิดนี้มีปัญหาจากการกลับมาของสี และผลที่น่าเสนอเป็นผลที่ได้หลังจากสีกลับมาแล้ว จึงอาจทำให้การตีความจากตัวเลขไม่ตรงกับสิ่งที่ควรจะเป็นเท่าใดนัก

จากการลดลงของซีไอของทุกสปีมีลักษณะคล้ายกัน แต่กลับส่งผลต่อการลดสีไม่เหมือนกัน คือปริมาณในเทรตที่เพิ่มขึ้นส่งผลให้อัตราการลดสีของสีอะโซลดลงอย่างมากเพียงสีเดียวคือสีไดอะอะโซ(สี1) ซึ่งพอจะสรุปได้ว่าพันธะอะโซเป็นตัวรับอิเล็กตรอนที่มีประสิทธิภาพต่อยกว่าในเทรต

#### 4.2.2 ผลของซัลเฟต

การเตรียมการทดลองจะคล้ายกับชุดการทดลองในเทรต คือทำการเปลี่ยนแปลงให้มีปริมาณซัลเฟตเริ่มต้นที่แตกต่างกัน 3 ค่าคือ

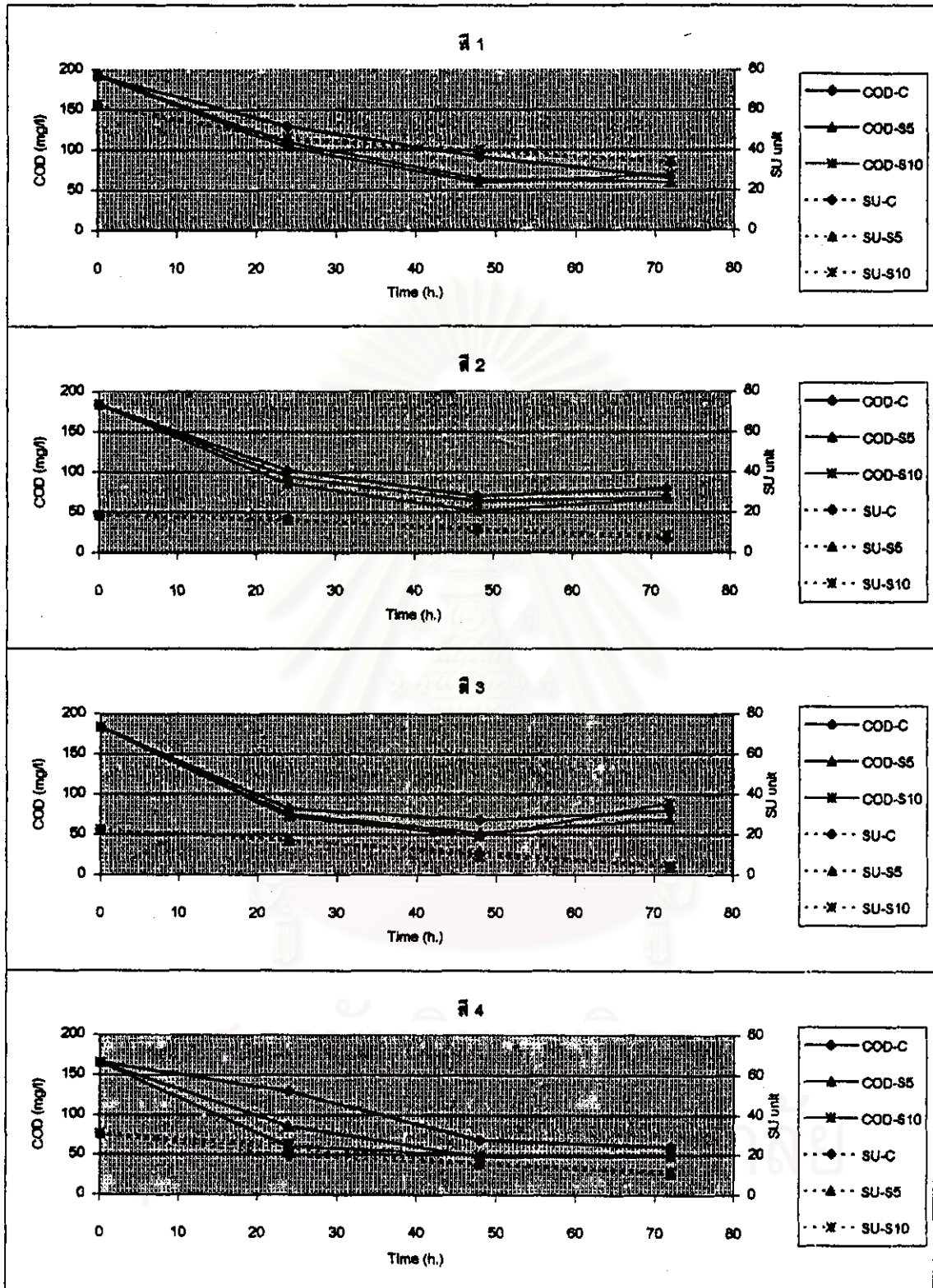
ชุด C ชุดควบคุม ( $t=5$ )

ชุด S5 ชุด  $t=5$  + ซัลเฟต 5 m-mol (โดยการเติมผง  $\text{Na}_2\text{SO}_4$  ชนิดแล็บเกรด ให้ได้ความเข้มข้น 710.3 มก./ล.)

ชุด S10 ชุด  $t=5$  + ซัลเฟต 10 m-mol (โดยการเติมผง  $\text{Na}_2\text{SO}_4$  ชนิดแล็บเกรด ให้ได้ความเข้มข้น 1420.6 มก./ล.)

นำมาตั้งทิ้งไว้ในห้องทดลอง (อุณหภูมิประมาณ 28-33 °ซ. ไม่โดนแดด) ทำการเก็บผลที่เวลาต่าง ๆ ดังตารางที่ 4.14

จากรูปที่ 4.13 พบว่าการลดลงของค่าซีไอมีลักษณะคล้ายกับชุดการทดลองในเทรต คือชุด S5 และ S10 ที่มีการเติมซัลเฟตเพิ่มลงไปมีแนวโน้มที่จะมีการลดของค่าซีไอได้มากกว่าชุด C ซึ่งเป็นชุดควบคุม ซึ่งน่าจะมีสาเหตุมาจากปริมาณซัลเฟตที่มากขึ้นส่งผลให้ซัลเฟตรีดิวซิงแบคทีเรีย



รูปที่ 4.13 ผลของซีโอไซด์และค่าเอสยูในชุดการทดลองการรบกวนการกำจัดสีด้วยซัลเฟต

ชุด C ชุดควบคุม (t=5)

ชุด S5 ชุด t=5 + ซัลเฟต 5 m-mol

ชุด S10 ชุด t=5 + ซัลเฟต 10 m-mol

ทำงานได้ดีขึ้นทำให้ลดซีโอดีได้ในอัตราเร็วขึ้น ซึ่งแสดงว่าปริมาณซิลเฟตที่เติมเข้าไปไม่ได้ส่งผลให้แบกที่เรียกที่อยู่ในหลอดทดลองตายหรือหยุดการทำงาน และพบว่าปริมาณซิลเฟตแทบจะไม่มีผลต่อการลดสีของทุกโครงสร้างสี รวมทั้งสีโครงสร้างอะโซด้วย (ดูได้จากกราฟค่าสีที่ปริมาณซิลเฟตต่างกันเกือบจะทับเป็นเส้นเดียวกัน) จึงพอจะสรุปในกรณีของสีอะโซได้ว่าซิลเฟตเป็นตัวรับอิเล็กตรอนที่มีประสิทธิภาพดีต่อกว่าโครงสร้างของสีอะโซ

ตารางที่ 4.14 ผลของซิลเฟตต่อการลดสี

		COD				SU			
		สี1	สี2	สี3	สี4	สี1	สี2	สี3	สี4
จุด C	5 min.	193	185	184	166	62.6	18.6	22.6	30.9
	24 h.	130	103	83	130	45.0	16.8	17.4	19.9
	48 h.	92	71	69	69	39.1	11.1	10.8	15.6
	72 h.	67	61	81	61	34.0	7.2	4.9	10.9
จุด S5	5 min.	193	185	184	166	62.6	18.6	22.6	30.9
	24 h.	110	95	76	88	45.7	16.2	17.1	23.2
	48 h.	65	65	53	48	40.2	12.2	12.1	15.9
	72 h.	61	69	70	50	34.8	8.9	4.2	11.1
จุด S10	5 min.	193	185	184	166	62.6	18.6	22.6	30.9
	24 h.	104	88	76	61	46.6	16.0	17.8	25.3
	48 h.	60	52	49	50	40.2	12.0	9.6	16.2
	72 h.	70	68	90	51	34.9	9.0	4.9	12.4

#### 4.2.3 ผลของสภาวะแวดล้อมที่ต่างกัน

ศึกษาผลของสภาวะแวดล้อมที่แตกต่างกัน 3 สภาวะคือ

จุด DR ในตู้เย็นมืด (อุณหภูมิ 4°C), dark refrigeration

จุด RC ในห้องทดลอง (อุณหภูมิห้องช่วง 28-33°C ไม่นอนแดด), room condition

จุด OE สภาวะกลางแจ้ง (โดนแดด มีไฟโต้ออกซิเดชัน อุณหภูมิเปลี่ยนแปลงไปตามกลางวัน-กลางคืนในช่วง 28-38°C), open exposure

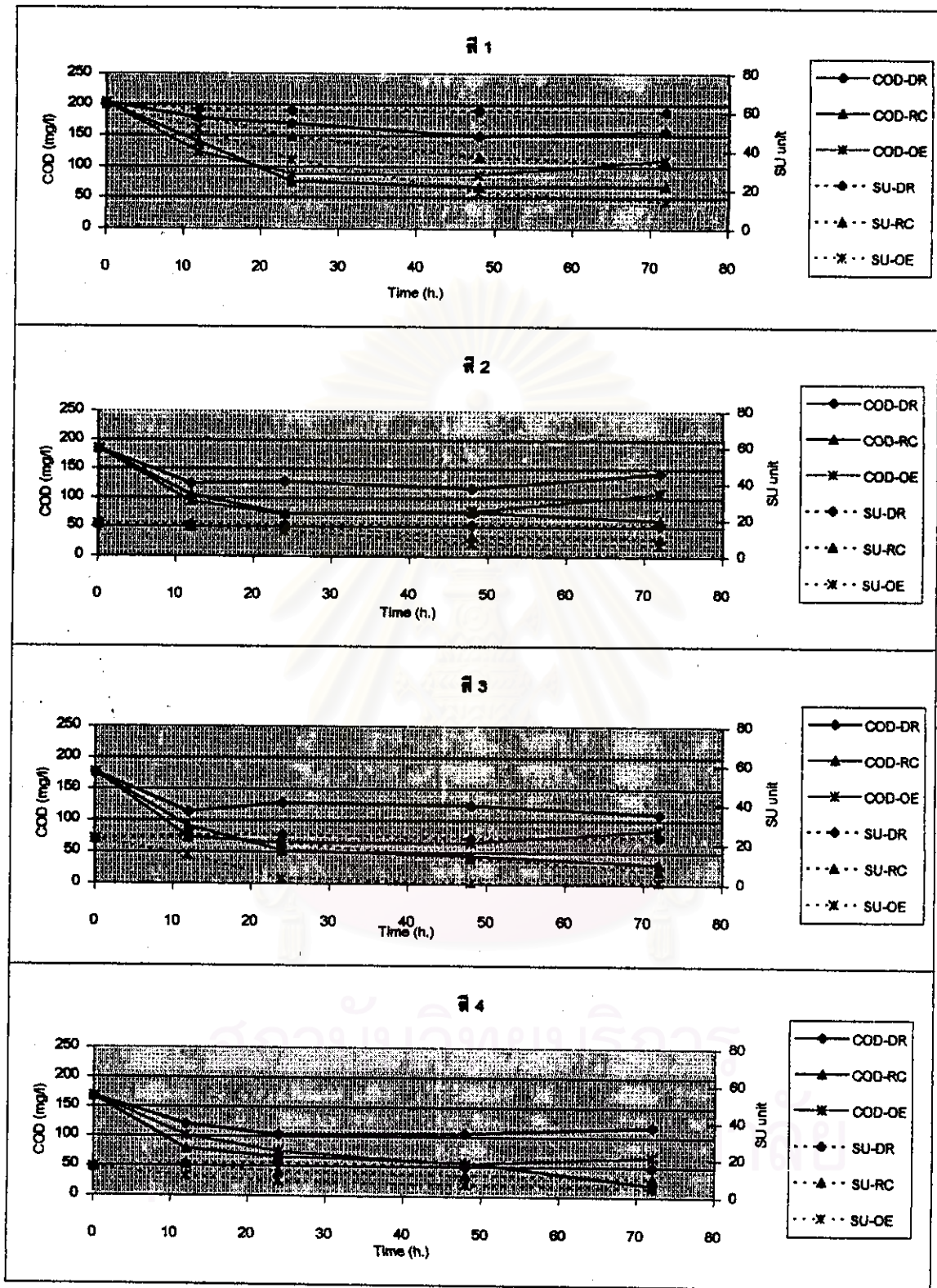
ได้ผลการทดลองดังแสดงในตารางที่ 4.15

ตารางที่ 4.15 ค่าซีและซีไอที เมื่อสภาวะแวดล้อมต่างกัน

		COD				SU			
		ส1	ส2	ส3	ส4	ส1	ส2	ส3	ส4
ชุด DR	5 min.	203	185	177	168	64.1	17.6	22.5	15.6
	12 h.	178	125	114	121	61.4	17.3	24.6	17.1
	24 h.	170	128	128	103	61.0	17.4	24.9	17.7
	48 h.	150	117	125	107	61.2	17.2	23.2	16.3
	72 h.	158	144	111	118	60.6	17.2	23.8	16.3
ชุด RC	5 min.	203	185	177	168	64.1	17.6	22.5	15.6
	12 h.	140	105	91	80	58.0	16.3	23.5	17.1
	24 h.	77	73	52	66	47.7	16.7	20.6	13.3
	48 h.	68	77	45	57	37.2	10.9	13.3	11.7
	72 h.	70	62	32	21	33.5	9.9	6.9	10.3
ชุด OE	5 min.	203	185	177	168	64.1	17.6	22.5	15.6
	12 h.	124	93	74	102	51.4	16.2	14.6	10.6
	24 h.	89	71	65	75	35.8	14.2	2.6	8
	48 h.	87	77	66	56	19.2	7.2	0.7	6.7
	72 h.	112	109	86	68	14.6	6.7	1.3	5.3

จากรูปที่ 4.14 พบว่าชุด DR (ในตู้เย็นมีด อุณหภูมิ 4°C) เกิดการยับยั้งการทำงานของแบกทีเรียส่งผลให้ค่าซีไอทีที่วัดได้มีค่าสูงกว่าชุด RC และ OE ซึ่งได้ลักษณะการลดลงของซีไอทีที่ใกล้เคียงกัน (ยกเว้นในช่วงเข้าสู่วันที่ 3 ของการทดลองที่ค่าซีไอทีของชุด OE มีแนวโน้มที่จะมีค่าสูงขึ้น) สำหรับประสิทธิภาพการลดสีของทุกโครงสร้างสีสามารถเรียงจากสูงไปหาต่ำได้คือชุด OE, ชุด RC และชุด DR ตามลำดับ เมื่อวิเคราะห์ร่วมกับผลของซีไอทีพบว่าสาเหตุหลักที่การลดสีในตู้เย็นมีดไม่มีแสงสว่างมีประสิทธิภาพต่ำ น่าจะมาจากการที่เซลล์จุลชีพถูกยับยั้งการเจริญเติบโตที่อุณหภูมิต่ำ ส่งผลให้แทบจะไม่เกิดการลดสีเลย ส่วนชุดที่ตั้งทิ้งไว้กลางแจ้งมีประสิทธิภาพการลดสีสูงกว่าน่าจะมาจากสาเหตุหลักสองประการ ประการแรกการเกิดไฟโตออกซิเดชันของสี ทำให้ความเข้มของสีในน้ำเสียลดลงได้ และประการที่สองน่าจะมาจากการที่น้ำเสียมีอุณหภูมิสูงกว่าซึ่งส่งผลให้เซลล์จุลชีพมีกิจกรรมในการใช้สารอาหารในอัตราที่สูงขึ้น ทำให้เกิด





รูปที่ 4.14 ผลของซีโอทีและค่าสีเอสยู เมื่อสภาวะแวดล้อมต่างกัน

จุด DR ในตู้เข็นมิด (อุณหภูมิ 4 C)

จุด RC ในห้องทดลอง (อุณหภูมิห้องช่วง 28-33 C ไม่โดนแดด)

จุด OE สภาวะกลางแจ้ง (โดนแดด มีไฟโซลาร์เซลล์ อุณหภูมิเปลี่ยนแปลงไปตามกลางวัน-กลางคืนในช่วง 28-38 C)

การลดสีในอัตราที่สูงกว่าอีกสองชุดการทดลองที่เหลือ จากผลดังกล่าวพอจะสรุปได้ว่าแสงแดด และอุณหภูมิน่าจะมีผลเร่งให้เกิดการลดสีในอัตราที่สูงขึ้นได้

(ข้อสังเกต - ค่าซีไอทีในน้ำเสียของชุดการทดลองที่ตั้งทิ้งไว้กลางแจ้งหลังจากตั้งทิ้งไว้ 2-3 วัน พบว่ามีค่าสูงกว่าชุดที่อยู่ในห้องทดลอง ผู้วิจัยคิดว่าอาจจะเกิดการแตกของเซลล์เนื่องจากอุณหภูมิสูงและเซลล์จุลชีพเริ่มมีการตาย ทำให้สารอาหารที่สะสมอยู่ในเซลล์แตกออกมาปนกับน้ำเสีย ส่งผลให้ซีไอทีในน้ำเสียมีค่าสูงขึ้นดังกล่าว)

#### 4.2.4 เปรียบเทียบผลของจุลชีพที่มีชีวิตกับไม่มีชีวิต

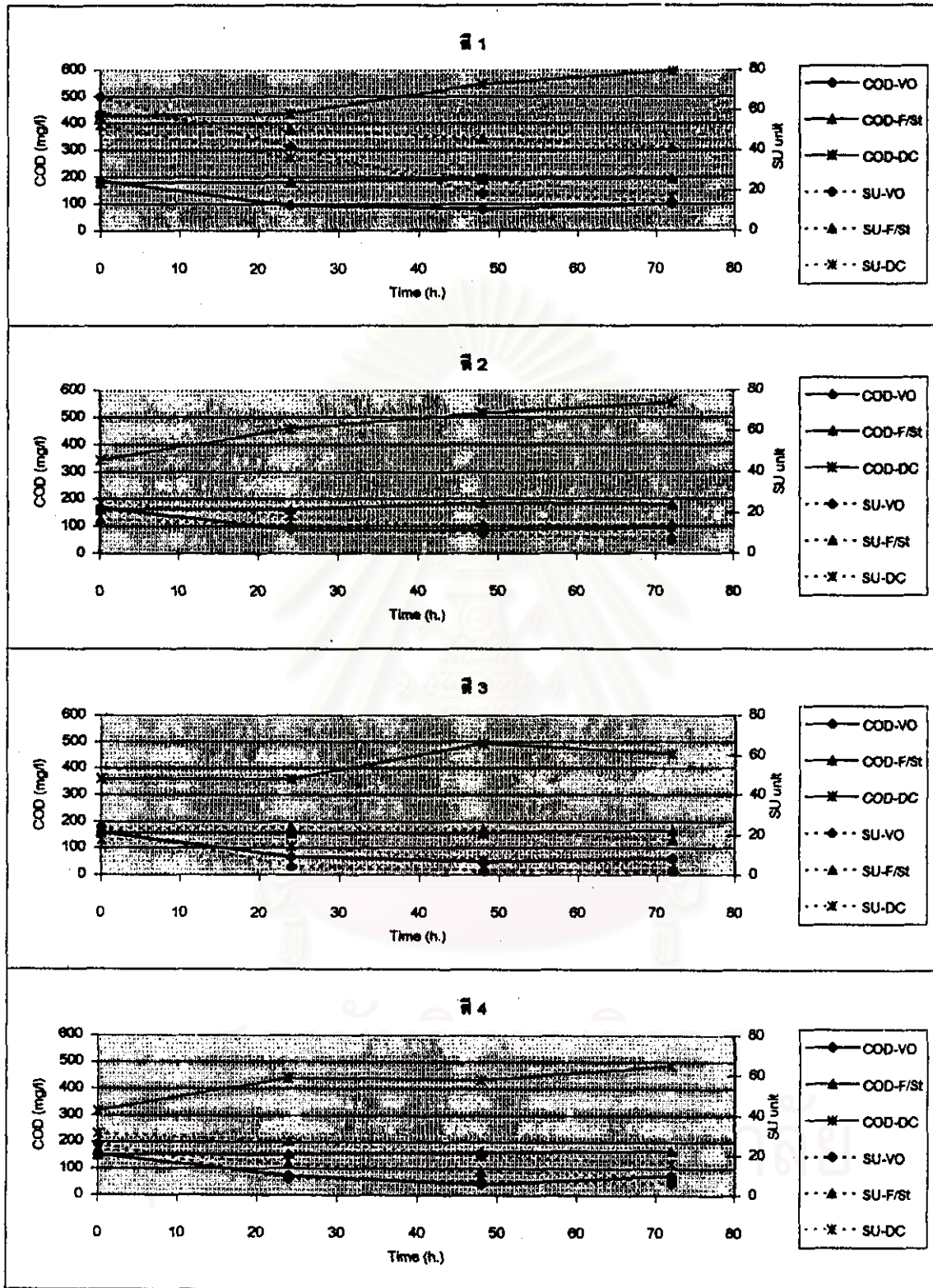
ศึกษาการลดสีในสภาวะที่มีจุลชีพมีชีวิตกับไม่มีชีวิตในสภาวะกลางแจ้งโดยแบ่งออกได้เป็น 3 ชุดการทดลองย่อยดังนี้

- ชุด VO ชุดควบคุม (มีเซลล์มีชีวิตเหมือนกับชุด C ในหัวข้อ 4.2.3), viable organisms
- ชุด F/St น้ำเสียจากถังปฏิกิริยาที่ t=5 นาที นำมากรองด้วยกระดาษ GF/C เพื่อแยกเซลล์ออก แล้วนำน้ำเสียที่ได้ไปฆ่าเชื้อในหม้อนึ่งอັด (autoclave), filter + sterilization
- ชุด DC น้ำเสียที่ t=5 นาที นำไปฆ่าเชื้อในหม้อนึ่งอັดเลยโดยที่ไม่ได้กรองเอาเซลล์ออก, dead cell

(หมายเหตุ - ชุด F/St และชุด DC ไม่มีเซลล์ที่มีชีวิตอยู่ในหลอดทดลองเหมือนกัน แต่ชุด St มีซากของฟล็อกและเซลล์ที่ตายแล้วจากการฆ่าเชื้ออยู่ เพื่อดูผลการลดสีจากการกุดติดบน ฟล็อก)

ได้ผลการทดลองดังแสดงในตารางที่ 4.16

จากรูปที่ 4.15 พบว่าชุด VO ซึ่งเป็นชุดควบคุมที่มีเซลล์จุลชีพที่มีชีวิตอยู่ด้วย มีประสิทธิภาพในการลดสีที่สุด แสดงว่าการลดสีที่เกิดขึ้นอย่างมากในสภาวะกลางแจ้งเกิดจากผลของการมีจุลชีพที่มีชีวิตอยู่ด้วย เมื่อพิจารณาการลดสีที่เกิดขึ้นในชุด F/St (ชุดการทดลองนี้ไม่มีเซลล์จุลชีพอยู่เลย) ซึ่งมีการลดลงของสีอยู่บ้างเช่นกัน แสดงว่าการเกิดโฟโตออกซิเดชันของสีต่อแสงแดดก็มีส่วนช่วยในการลดสีอยู่ด้วย แต่มีอัตราการลดสีที่ต่ำกว่าของอีก 2 ชุดที่เหลือ สำหรับชุด DC (มีซากของฟล็อกและเซลล์จุลชีพที่ตายแล้วอยู่) มีอัตราการลดลงของสีสูงกว่าชุด F/St แต่ต่ำกว่าชุด VO แสดงว่าการลดสีไม่ได้เกิดจากการย่อยสลายโดยจุลินทรีย์เมื่อมี co-substrate อยู่ด้วย ดังนั้นการกุดติดของสีบนฟล็อกก็มีส่วนช่วยในการลดสีด้วยเช่นกัน



รูปที่ 4.15 ผลของซีโอดีและค่าเอสยู เมื่อมีเซลล์จุลชีพที่มีชีวิตและไม่มีชีวิต

- จุด VO จุดควบคุม (มีเซลล์มีชีวิตเหมือนกับจุด OE ในหัวข้อ 4.2.3)
- จุด F/St น้ำเสียจากถังปฏิกิริยาที่ t=5 นาที นำมากรองด้วยกระดาษ GF/C เพื่อแยกเซลล์ออก แล้วนำน้ำเสียที่ได้ไปฆ่าเชื้อในหม้อนึ่งซัด
- จุด DC น้ำเสียที่ t=5 นาที นำไปฆ่าเชื้อในหม้อนึ่งซัดเลยโดยที่ไม่ได้กรองเอาเซลล์ออก

(ข้อสังเกต - ค่าซีไอทีของจุด DC มีค่าสูงภายหลังจากการฆ่าเชื้อเนื่องมาจากการแตกของเซลล์จุลินทรีย์ ซึ่งส่งผลให้สารอาหารที่สะสมอยู่ในเซลล์ปนออกมากับน้ำเสีย)

ตารางที่ 4.16 ค่าสีและซีไอที เมื่อมีเซลล์จุลินทรีย์ที่มีชีวิตและไม่มีชีวิต

		COD				SU			
		สี1	สี2	สี3	สี4	สี1	สี2	สี3	สี4
จุด VO	5 min.	187	170	160	155	66.6	21.3	23.9	26.0
	24 h.	96	89	69	74	41.9	13.4	4.3	6.6
	48 h.	82	86	51	42	18.8	10.0	2.3	7.2
	72 h.	101	95	64	77	14.6	6.5	2.2	6.3
จุด F/St	5 min.	179	164	159	153	59.0	18.9	23.3	23.2
	24 h.	182	163	158	156	50.8	13.8	23.5	15.7
	48 h.	193	186	160	163	46.0	13.8	22.8	12.0
	72 h.	196	182	170	170	41.3	14.3	17.7	9.7
จุด DC	5 min.	428	343	362	317	52.5	25.1	17.7	31.0
	24 h.	439	460	360	439	36.3	16.7	14.5	27.3
	48 h.	549	516	495	433	26.0	12.5	7.6	20.2
	72 h.	598	556	457	488	17.3	10.1	5.5	16.2

#### 4.2.5 ผลของอุณหภูมิ

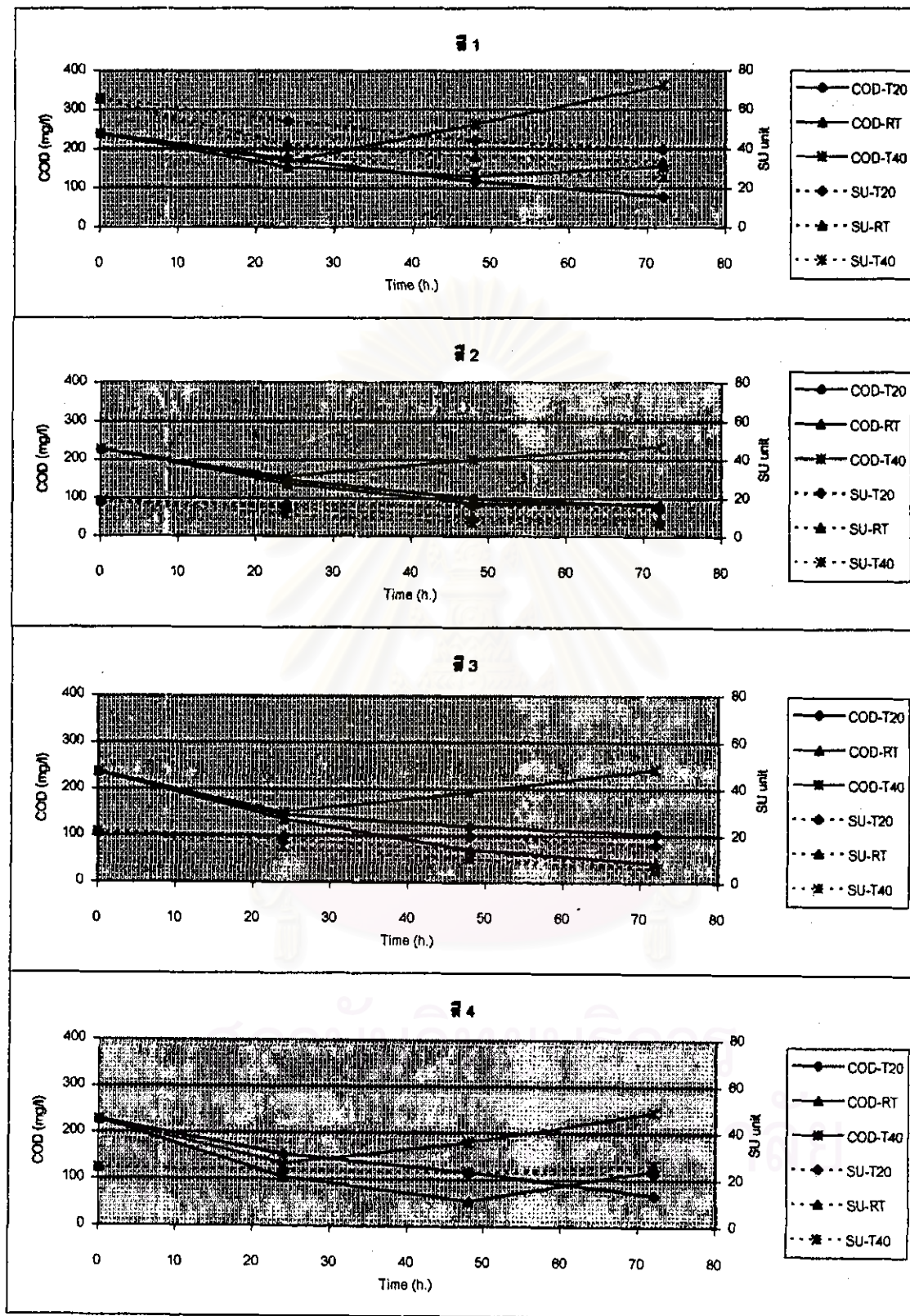
ศึกษาผลของการลดสีภายใต้อุณหภูมิที่แตกต่างกันในสภาวะไร้แสง โดยแบ่งออกเป็น 3 ชุดการทดลองย่อยดังนี้

ชุด T20 อุณหภูมิ 20°C ในสภาวะไร้แสง (ในตู้เก็บขวดทดลองมีไอที)

ชุด RT อุณหภูมิห้อง (ประมาณ 30 °C) ในสภาวะไร้แสง (โดยการเก็บไว้ในห้องมืด)

ชุด T40 อุณหภูมิ 40°C ในสภาวะไร้แสง (ในตู้อินคิวเบเตอร์ควบคุมอุณหภูมิ)

ได้ผลการทดลองดังแสดงในตารางที่ 4.17



รูปที่ 4.18 ผลของซีไอคิมและค่าเอสยู ที่อุณหภูมิต่างกัน

- จุด T20 อุณหภูมิ 20 C ในตู้ควบคุมอุณหภูมิไม่โดนแสง
- จุด RT อุณหภูมิห้องในช่วง 28-33 C ใส่ไว้ในตู้มืดไม่โดนแสง
- จุด T40 อุณหภูมิ 40 C ในอินคิวเบเตอร์ไม่โดนแสง

ตารางที่ 4.17 ค่าสีและซีโอดี ที่อุณหภูมิต่างกัน

		COD				SU			
		สี1	สี2	สี3	สี4	สี1	สี2	สี3	สี4
จุด T20	5 min.	240	227	236	227	65.9	18.3	21.5	24.7
	24 h.	174	147	144	153	54.3	16.5	19.7	23.7
	48 h.	117	100	120	116	44.1	16.2	20.0	23.1
	72 h.	79	82	105	88	39.9	14.3	16.4	22.7
จุด RT	5 min.	240	227	236	227	65.9	18.3	21.5	24.7
	24 h.	153	138	135	105	42.3	15.0	18.3	24.0
	48 h.	130	87	71	55	36.3	10.0	14.2	23.3
	72 h.	156	86	42	122	33.8	9.0	5.9	26.1
จุด T40	5 min.	240	227	236	227	65.9	18.3	21.5	24.7
	24 h.	167	156	151	134	37.9	11.8	15.0	24.3
	48 h.	264	202	193	181	28.2	7.5	9.9	23.5
	72 h.	363	237	244	246	25.8	6.6	6.2	26.6

จากรูปที่ 4.16 พบว่าอุณหภูมิที่สูงขึ้น(ในช่วง 20 ถึง 40°C)ส่งผลให้ประสิทธิภาพในการลดสีสูงขึ้นด้วย (ยกเว้นสีออกซาซินที่ยังไม่สามารถสรุปผลการลดสีได้เนื่องจากการกีดขวางของสี) การที่น้ำเสียมีอุณหภูมิสูงจะส่งผลให้กิจกรรมต่างๆของเซลล์จุลินทรีย์ไม่ว่าจะเป็นการหายใจ (respiration), การเจริญเติบโต, การใช้สารอาหาร เกิดขึ้นในอัตราที่สูงขึ้น ซึ่งกิจกรรมเหล่านี้ของจุลินทรีย์มีส่วนในการลดสีที่ปนเปื้อนอยู่ในน้ำเสีย นอกจากนี้การที่อุณหภูมิสูงจะนำไปสู่การที่ย้อมรีออกทีฟเหล่านี้มีสมบัติในการย่อยเม็ดเซลล์ของฟล็อกได้ดียิ่งขึ้นอีกด้วย

(ข้อสังเกต - ค่าซีโอดีของน้ำเสียมเมื่ออุณหภูมิสูงจะจะมีค่าสูงขึ้นด้วยเช่นกัน ผลดังกล่าวคล้ายกับที่เกิดขึ้นในชุดการทดลองก่อนหน้านี้ซึ่งก็น่าจะมาจากสาเหตุเดียวกันคือ การแตกของเซลล์จุลินทรีย์เมื่ออุณหภูมิสูงนั่นเอง)

#### 4.2.6 สรุปผลการทดลองแบบแบดซ์

จากผลการทดลองในขั้นตอนที่สองซึ่งเป็นการทดลองแบบแบดซ์ดังกล่าวในหัวข้อที่ 4.2 สรุปได้ว่าปริมาณไนเตรตมีผลต่อการลดสีของโครงสร้างอะโซโดยที่ซัลเฟตไม่มีผล สำหรับลิโครง

สร้างแอนทราควิโนนทั้งสองประเภทพบว่าทั้งปริมาณไนเตรดและซัลเฟตไม่ส่งผลต่อการลดสีแต่อย่างใด นอกจากนี้ยังพบว่าสภาวะแวดล้อมมีผลต่อการลดสี โดยอุณหภูมิที่สูงขึ้น สภาวะที่มีแสงแดด ส่งผลให้อัตราการลดสีสูงขึ้น โดยพบว่าการลดสีจะเกิดขึ้นได้ก็ต่อเมื่อมีจุลชีพที่มีชีวิตอยู่ในระบบฯด้วย

#### 4.3 อิทธิพลของความเข้มข้นต่อการลดสี

ผู้วิจัยได้ทำการศึกษาเพิ่มเติมโดยใช้ความเข้มข้นของสีที่ 100 มก./ล. โดยใช้ชนิดที่เหมือนกันกับชุดการทดลองแรกที่ใช้สีความเข้ม 20 มก./ล. และเลือกใช้ระบบเอสปีอาร์เช่นเดิม เพียงแต่เพิ่มช่วงแอน็อกซิกต่อจากช่วงแอโรบิกอีก 1 ชั่วโมง โดยปรับลดเวลาในช่วงแอนแอโรบิกลงเหลือ 17 ชั่วโมง ซึ่งทำให้ได้เวลาวัฏจักรเป็น 24 ชั่วโมงเช่นเดิม กล่าวคือเป็นการเปลี่ยนระบบฯจากฟรีแอน็อกซิกซึ่งจะเกิดกระบวนการแอน็อกซิกในช่วงต้นของกระบวนการแอนแอโรบิก เป็นระบบฯแบบโพสต์แอน็อกซิก

สำหรับชุดการทดลองนี้ผู้วิจัยไม่ได้ทำการเก็บพารามิเตอร์ครบทุกตัวดังเช่นชุดการทดลองแรก เนื่องจากปัจจัยทางด้านเวลา โดยจะทำการเก็บเฉพาะพารามิเตอร์ที่เกี่ยวข้องกับการลดสีและการกำจัดฟอสฟอรัสเท่านั้น

##### 4.3.1 ผลของความเข้มข้นที่เพิ่มขึ้นต่อการกำจัดซีโอดี

จากตารางที่ 4.18 พบว่าประสิทธิภาพการกำจัดซีโอดีที่ความเข้มข้นต่างกันจะแตกต่างกันไปด้วย (96-97% สำหรับความเข้มสี 20 มก./ล. และ 91-93% สำหรับความเข้มสี 100 มก./ล.) ทั้งนี้เนื่องจากค่าซีโอดีของน้ำออกของชุดความเข้มสี 100 มก./ล. มีค่าสูงกว่าชุด 20 มก./ล. โดยค่าซีโอดีที่เหลืออยู่น่าจะเป็นส่วนที่มาจากซีโอดีของสีที่เหลืออยู่ในน้ำเสียและย่อยไม่ได้ทางชีวภาพ

ตารางที่ 4.18 ผลการกำจัดซีโอดี (มก./ล.) ที่ความเข้มสี 20 และ 100 มก./ล.

	ความเข้มสี 20 มก./ล.				ความเข้มสี 100 มก./ล.				
	Inf.	An.	Ox.	%rem.	Inf.	An.	Ox.	Anx.	%rem.
สี 1	974	34	36	96	1142	87	84	82	93
สี 2	984	28	32	97	1149	107	121	103	91
สี 3	976	29	35	96	1132	99	97	97	91
สี 4	976	28	32	97	1144	69	88	76	93

จากงานวิจัยในอดีตที่ผ่านมาพบว่า การเติมสารอาหารหลักที่ योगง่ายเป็น co-substrate ให้แก่จุลชีพจะส่งผลให้จุลชีพสามารถทำการลดสีได้ดีกว่าการที่นำเสียมีสีอะโซเพียงอย่างเดียว (Carllell et al., 1995) เมื่อพิจารณาเพิ่มเติมจากงานวิจัยนี้ การใช้ซีโอดีเริ่มต้นที่เท่ากันคือ ประมาณ 1000 มก./ล. และทำการเปลี่ยนแปลงความเข้มข้นสี 2 ค่าคือ 20 และ 100 มก./ล. สำหรับสีอะโซ (สี 1) ได้ประสิทธิภาพการกำจัดสีในระดับที่ใกล้เคียงกันคือ 63 และ 58 เปอร์เซ็นต์ ตามลำดับ (ดังแสดงในตารางที่ 4.18) พอจะสรุปได้ว่าในระบบเอสบีอาร์แบบแอนแอโรบิก-แอโรบิกนี้ ค่าอัตราส่วนซีโอดีต่อสีอะโซ 1000 ต่อ 100 หรือ 10 ต่อ 1 ก็เกินพอสำหรับการลดสีแล้ว โดยการเพิ่มปริมาณซีโอดีที่สูงกว่านี้ไม่น่าจะส่งผลให้เกิดการลดสีสูงขึ้นอย่างมีนัยสำคัญ โดยดูได้จากผลการใช้อัตราส่วนซีโอดีต่อสีอะโซ 1000 ต่อ 20 หรือ 50 ต่อ 1 ก็ไม่ได้ส่งผลให้การลดสีอะโซเพิ่มขึ้นได้มากนัก

#### 4.3.2 ผลของความเข้มข้นที่เพิ่มขึ้นต่อการลดสี

จากตารางที่ 4.19 เมื่อทำการละลายสีย้อมรีแอกทีฟในปริมาณที่เท่ากัน ค่าสีที่ได้ออก (Inf.) จะไม่เท่ากัน เนื่องจากสมบัติในการเห็นสีของสีย้อมแต่ละชนิดไม่เหมือนกัน เมื่อพิจารณาประสิทธิภาพการลดสีพบว่าสีอะโซ (สี 1) ที่สองความเข้มข้น (20 และ 100 มก./ล.) ใกล้เคียงกันคือประมาณร้อยละ 63 และ 58 ในหน่วย SU แต่อย่างไรก็ตามเป็นที่แน่นอนที่ความเข้มข้นน้ำทิ้งของกรณีสีเข้า 20 มก./ล. ต้องมีมากกว่าในกรณีสีเข้า 100 มก./ล. กล่าวคือ 36.5 เทียบกับ 192 SU ตามลำดับ ดังนั้นแม้ว่าประสิทธิภาพในการลดสีที่ได้จะเท่ากัน น้ำทิ้งกรณีหลังก็มี eff. SU ออกไปสูงกว่ากรณีแรก

ตารางที่ 4.19 ค่าสีในหน่วยเอสยู (SU) ที่ความเข้มข้นของสี 20 และ 100 มก./ล.

	ความเข้มข้น 20 มก./ล.				ความเข้มข้น 100 มก./ล.				
	Inf.	Ana.	Aer.	%rem.	Inf.	Ana.	Aer.	Anx.	%rem.
สี 1	97.3	37.4	36.5	63	460	198	194	192	58
สี 2	29.5	12.6	10.5	64	146	99	103	99	32
สี 3	43.4	14.1	14.8	66	217	134	126	127	41
สี 4	52.8	29.6	31.3	41	266	246	236	238	11

โดยการลดสีส่วนใหญ่เกิดขึ้นที่ขั้นตอนแอนแอโรบิกดังเช่นในกรณีสีอะโซ 20 มก./ล. สลดลงจาก 97.3 มาเป็น 37.4 SU และ 36.5 SU ในแอนแอโรบิกและแอโรบิกตามลำดับ



ส่วนในกรณีของสีแอนทราควิโนนสองชนิด (สี2 และสี3) ประสิทธิภาพการลดสีลดลงอย่างเห็นได้ชัดเมื่อความเข้มข้นในน้ำเสียสูงขึ้น นั่นหมายถึงว่าความเข้มข้นในน้ำเสียเมื่อสูงขึ้นจะเป็นผลเสียต่อระบบบำบัดมากยิ่งขึ้น เพราะเมื่อสีเข้ามากขึ้นประสิทธิภาพการบำบัดลดลง สีในน้ำออกก็จะมีเหลือออกไปมากขึ้นนั่นเอง และเนื่องจากมวลจุลชีพของทั้งสองชนิดนี้ไม่แตกต่างกันมากนัก แต่สีเข้ามากขึ้น ประสิทธิภาพในการกำจัดสีจากการดูดติดบนฟล็อกเท่าเดิม ทำให้สีในน้ำทิ้งมีค่าสูงขึ้นนั่นเอง

นอกจากนี้ยังชี้ให้เห็นว่าสีไดอะโซโซไซท์ถูกกำจัดได้ง่ายกว่าสีแอนทราควิโนนทั้งสองประเภท ข้อมูลที่พบนี้ น่าจะนำไปใช้ในการวางแผนการย่อมนอกอุตสาหกรรมสิ่งทอด้วย เพื่อที่จะได้ลดมลพิษจากสีได้มากขึ้น

สำหรับสีโครงสร้าง Oxazine พบว่าสีที่ปรากฏให้เห็นด้วยตาในถังปฏิกรณ์ในช่วงแอนแอโรบิกมีการลดลงของสีอย่างเห็นได้ชัดจนแทบไม่มีสีเมื่อปล่อยให้เกิดการจมตัวของสลัดจ์ในถังปฏิกรณ์ แต่เมื่อตักน้ำออกมาจากถังปฏิกรณ์แล้วนำไปกรองเพื่อทำการวัดสี กลับปรากฏว่าการรบกวนอย่างใดอย่างหนึ่งต่อโครงสร้างสีและน้ำที่กรองได้กลับมีสีเข้มข้นมาอีกอันเป็นปรากฏการณ์ที่ประหลาด แต่ยังไม่สามารถหาสาเหตุได้ ดังแสดงไว้แล้วในหัวข้อ 4.1.3.1 ทำให้ยังไม่สามารถสรุปประสิทธิภาพและกลไกการลดสีของสีนี้ได้ สำหรับผลการทดลองต่างๆของสีนี้ได้แสดงไว้ในตารางและรูปนั้นเป็นผลที่ได้หลังจากทำการกรองและสีได้กลับเข้มข้นแล้ว

#### 4.3.3 ผลของความเข้มข้นที่เพิ่มขึ้นต่อการกำจัดฟอสฟอรัส

จากตารางที่ 4.20 ที่ความเข้มข้น 20 มก./ล. ดังที่ได้วิเคราะห์ไว้แล้วในหัวข้อ 4.1.3.2 ในกรณีของสีอะโซ(สี1)และสีออกซาซีน(สี4)ว่าเป็นระบบขที่มี PAO เกิดขึ้นในถังปฏิกรณ์ ซึ่งเรียกอีกชื่อหนึ่งได้ว่าเป็นกระบวนการ EBPR (Enhanced Biological Phosphorus Removal) ทำให้เกิดการกำจัดฟอสฟอรัสมากกว่าในกรณีระบบขของสีแอนทราควิโนน 1 และ 2 (สี2, สี3) ซึ่งแสดงว่าสีแอนทราควิโนน 1 และ 2 มีผลกระทบต่อ PAO มากกว่าสีอีก 2 ชนิด โดยความเข้มข้นที่เพิ่มขึ้นของสีอะโซและสีออกซาซีนมีผลต่อประสิทธิภาพการกำจัดฟอสฟอรัสอย่างมาก (จาก 78 และ 96% ที่ความเข้มข้น 20 มก./ล. ลดลงเหลือ 48 และ 42% ที่ความเข้มข้น 100 มก./ล. ตามลำดับ) ผิดกับสีแอนทราควิโนน (สี2, สี3) ซึ่งประสิทธิภาพการกำจัดฟอสฟอรัสที่ได้ใกล้เคียงกันทั้งสองความเข้มข้น กล่าวคือสำหรับสีแอนทราควิโนน 1 และ 2 ถือได้ว่าเป็นชนิดที่ไม่มี PAO ในทั้งสองความเข้มข้นของสี สรุปได้ว่าชนิดของสีและความเข้มข้นของสีมีผลต่อ PAO และผลการกำจัดสีระหว่างแบคทีเรีย OHO (ordinary heterotroph organisms) กับ PAO ไม่แตกต่างกันอย่างมีนัยสำคัญ (จากผลการลดสีอะโซที่ความเข้มข้นต่างกัน ได้ผลการกำจัดสีไม่แตกต่างกัน แต่มีประสิทธิ

ภาพการกำจัดฟอสฟอรัสต่างกัน) ดังนั้นเมื่อพิจารณาเฉพาะประสิทธิภาพในการลดสีของระบบเพียงอย่างเดียว ก็ไม่จำเป็นต้องเลี้ยงให้ระบบเป็น EBPR เพียงเลี้ยงแบบแอนแอโรบิก-แอโรบิกก็เพียงพอแล้ว

ตารางที่ 4.20 การกำจัดฟอสฟอรัส (หน่วย มก./ล.ในรูปของP) ที่ความเข้มข้น 20 และ 100 มก./ล

	ความเข้มข้น 20 มก./ล.				ความเข้มข้น 100 มก./ล.				
	Inf.	Ana.	Aer.	%rem.	Inf.	Ana.	Aer.	Anx.	%rem.
สี 1	16.3	26	3.6	78	16.0	12.4	9.3	8.4	48
สี 2	16.3	13.8	7.9	52	16.0	13.3	9.4	8.3	48
สี 3	16.3	11.7	9.6	41	16.0	13.1	8.6	8.3	48
สี 4	16.3	28.6	0.6	96	16.0	13.2	9.0	9.3	42

#### 4.4 อธิพลของโครงสร้างสีต่อลักษณะการลดสี

จากหัวข้อที่ 4.3.1 พบว่ามีประสิทธิภาพการลดสีอะโซ (สี1) ที่สองความเข้มข้น (20 และ 100 มก./ล.) โกลด์เคียงกันคือประมาณร้อยละ 63 และ 58 ในหน่วย SU โดยการลดสีส่วนใหญ่เกิดขึ้นที่ขั้นตอนแอนแอโรบิก ส่วนในกรณีของสีแอนทราควิโนน 1 และ 2 (สี 2, สี 3) ประสิทธิภาพการลดสีลดลงอย่างเห็นได้ชัดเมื่อความเข้มข้นในน้ำเสียสูงขึ้นคือที่ความเข้มข้น 20 มก./ล.มีประสิทธิภาพการลดสีเท่ากับ 64 และ 66 % ส่วนที่ความเข้มข้น 100 มก./ล.เท่ากับ 32 และ 41 % ตามลำดับ จากผลการทดลองนี้พอจะเป็นตัวชี้บ่งได้ว่าสีอะโซถูกกำจัดด้วยวิธีดังกล่าวนี้ได้ง่ายกว่าสีแอนทราควิโนนทั้งสองประเภท สำหรับสีโครงสร้างออกซาซินพบว่าสีที่ปรากฏให้เห็นด้วยตาในถังปฏิกริยาในช่วงแอนแอโรบิกมีการลดลงของสีอย่างเห็นได้ชัดจนแทบไม่มีสีเมื่อปล่อยให้เกิดการจมตัวของสลัดจ์ในถังปฏิกริยา แต่เมื่อตักน้ำออกมาจากถังปฏิกริยาแล้วนำไปกรองเพื่อทำการวัดสี กลับปรากฏว่าเกิดการรบกวนอย่างใดอย่างหนึ่งต่อโครงสร้างสีและน้ำที่กรองได้กลับมีสีเข้มข้นมาอีกอันเป็นปรากฏการณ์ที่ยังไม่สามารถหาสาเหตุได้ ดังแสดงในหัวข้อ 4.1.3.1 ทำให้ยังไม่สามารถสรุปประสิทธิภาพและกลไกการลดสีของสีนี้ได้ โดยผลการทดลองต่างๆของสีนี้ได้แสดงไว้ในตารางและรูปเป็นผลที่ได้หลังจากทำการกรองและสีได้กลับเข้มข้นแล้ว

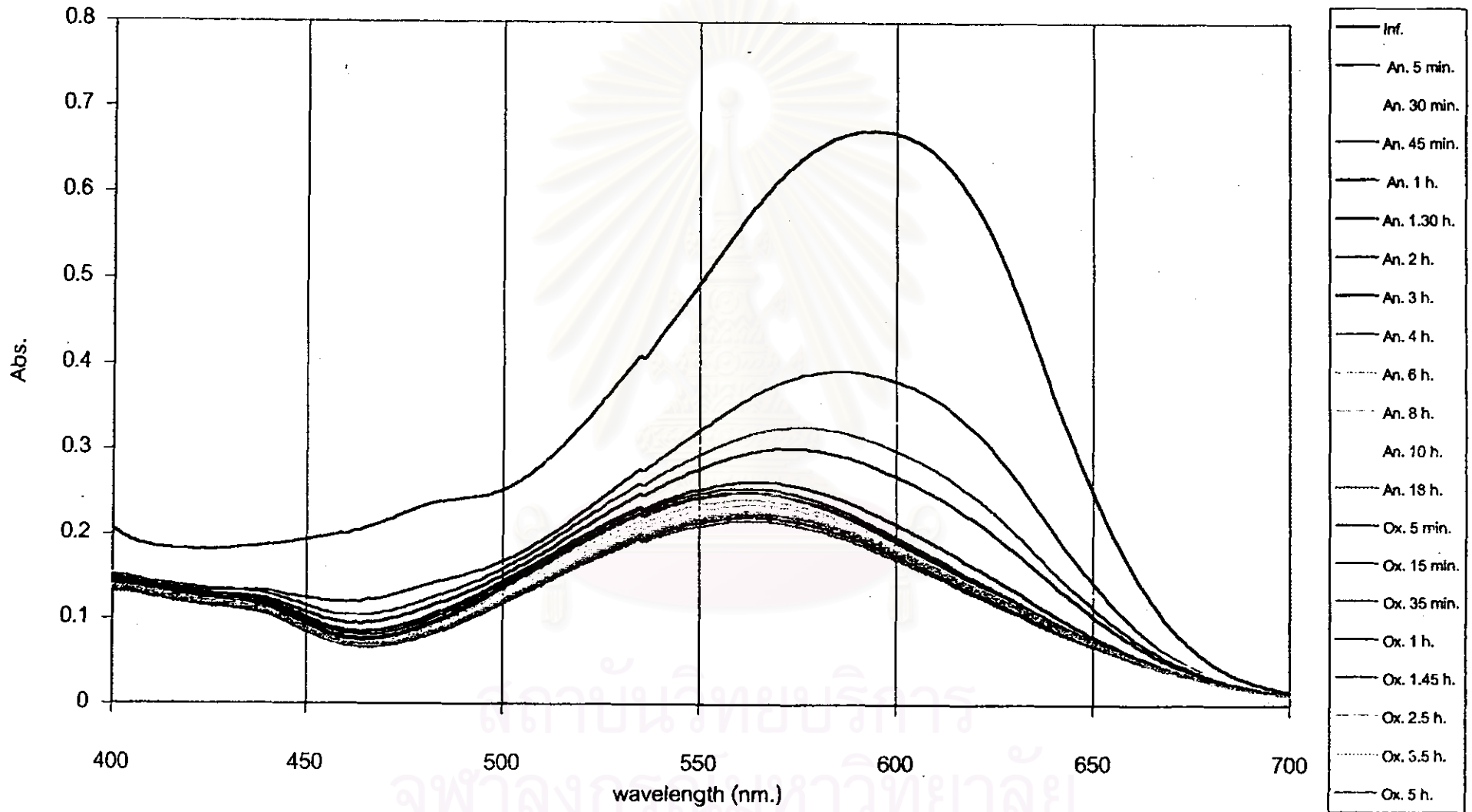
จากรูปที่ 4.8 ในหัวข้อที่ 4.1.3.1 พบว่าการลดสีของสีไดอะอะโซเกิดขึ้นอย่างมากในช่วง 5 นาทีถึง 2 ชั่วโมงแรกของกระบวนการแอนแอโรบิก หลังจากนั้นจะเกิดการลดสีในอัตราที่ใกล้เคียงกับของสีแอนทราควิโนน 1, 2

จากรูปที่ 4.17 ซึ่งแสดงสเปกตรัมของสีอะโซในชุดการทดลองสี 20 มก./ล. พบว่าการลดสีของสีไดอะโซโซใน ช่วง 2 ชั่วโมงแรกจะเกิดการเปลี่ยน  $\lambda_{max}$  ของสีเป็นลำดับจาก 597 เป็น 565 นาโนเมตร (หมายเหตุ : สีหนึ่งๆจะมี dominant wavelength ( $\lambda_{max}$ ) หรือความยาวคลื่นเด่นที่ค่าหนึ่งๆ การเปลี่ยน  $\lambda_{max}$  หมายถึงมีการเปลี่ยนโทนสีไปจากเดิม และการที่มีค่าแอมพลิจูดต่ำลง ณ จุด  $\lambda_{max}$  หนึ่งๆ แสดงว่าความเข้มสีลดลง ดังนั้นถ้า  $\lambda_{max}$  เปลี่ยนจุดและมีค่าแอมพลิจูดต่ำลงด้วยจึงหมายความว่าสีเปลี่ยนโทนและมีความเข้มลดลงด้วย) หลังจากนั้นค่า  $\lambda_{max}$  จะคงที่ไปจนถึงสิ้นสุดปฏิกิริยาแอนแอโรบิกที่ 18 ชม. แสดงว่าน่าจะมีการเปลี่ยนโครงสร้างของสีอะโซซึ่งทำให้การเกิดเป็นสีลดลงด้วยจึงเกิดการกำจัดสีขึ้น ซึ่งต่างกับสีแอนทราควิโนน 1, 2 ที่ค่า  $\lambda_{max}$  ไม่มีการเปลี่ยนแปลง ดังรูปที่ 4.18 และ 4.19 แต่พบว่ามีค่าแอมพลิจูดต่ำลงซึ่งแสดงว่ามีการลดสีและไม่น่าที่จะเกิดการเปลี่ยนโครงสร้างทางเคมีของสี

ผลการทดลองนี้คล้ายกับงานวิจัยของ Setiadi and Loosdrecht (1997) ที่พบว่าการลดสีของสีไดอะโซโซจะแบ่งอัตราการลดสีเป็น 2 ช่วง โดยช่วงที่เกิดขึ้นอย่างรวดเร็วจะเป็นในช่วง 2-3 ชั่วโมงแรกเช่นกัน และพบว่าสามารถลดสีนี้ได้ 67% ในช่วง 10.5 ชั่วโมง ของกระบวนการแอนแอโรบิก ส่วนงานวิจัยของ Nigam et al. (1996) ก็พบว่าสามารถลดสีไดอะโซโซได้ 67% ในช่วง 24 ชั่วโมงเช่นกัน (หมายเหตุ : การคำนวณเปอร์เซ็นต์การลดสีของงานวิจัยทั้งสองที่อ้างถึงนี้ได้วัดค่าแอมพลิจูดเฉพาะที่  $\lambda_{max}$  เริ่มต้นที่เดียวคือ 597 โดยไม่ได้วัดทั้งช่วงแล้วนำมาคำนวณเป็น SU ซึ่งในความเป็นจริงเมื่อผ่านปฏิกิริยาแอนแอโรบิกแล้ว ค่า  $\lambda_{max}$  ของสีนี้ควรมีค่าลดลง (ดังรูปที่ 4.17) ทำให้การคำนวณเปอร์เซ็นต์การลดสีของงานวิจัยทั้งสองนี้จึงมีความคลาดเคลื่อน กล่าวคือได้ค่าสูงกว่ากรณีนำพื้นที่ใต้กราฟในช่วง 400-700 นาโนเมตร มาคำนวณในระบบ SU)

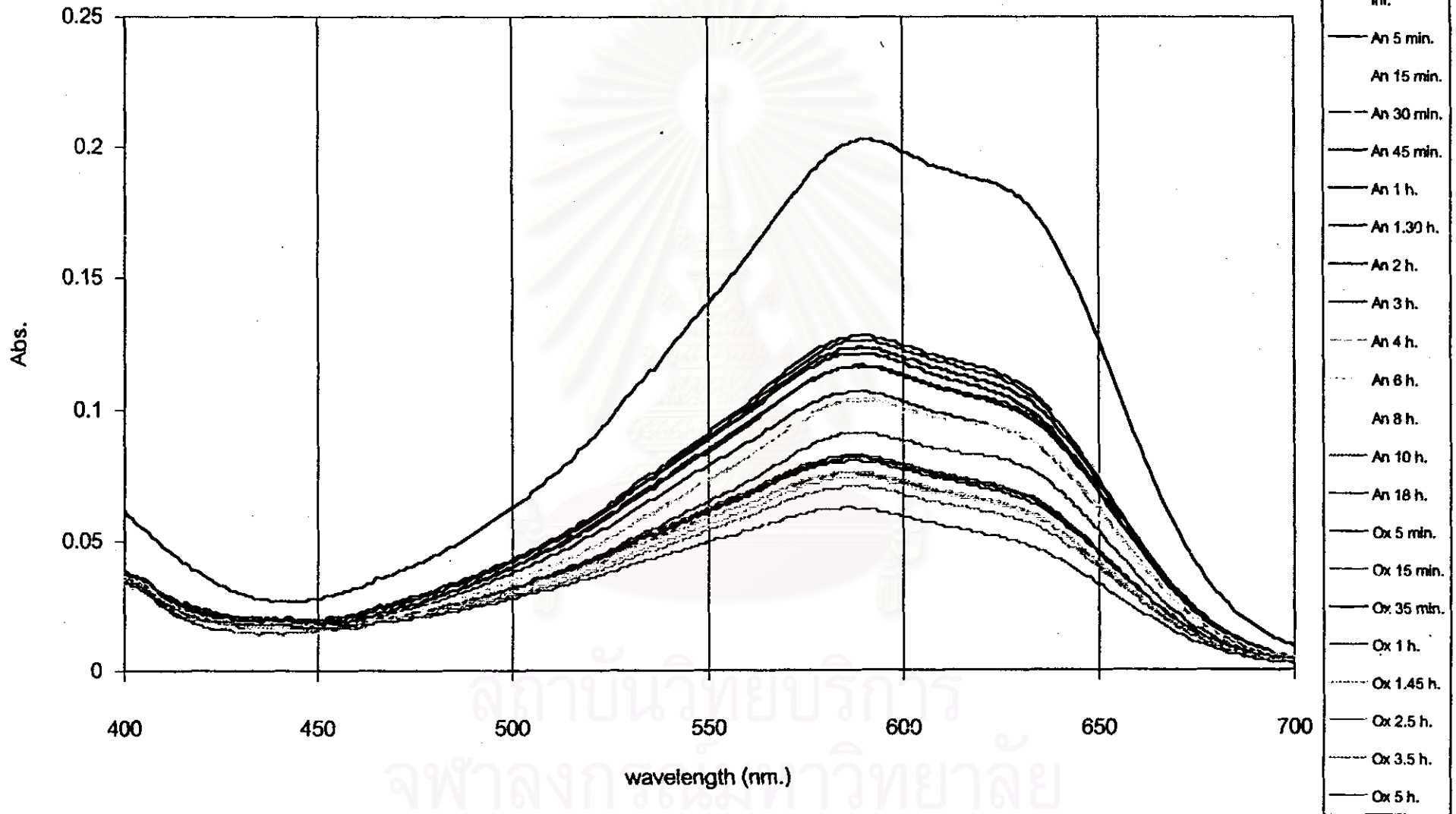
จากการติดตามการเปลี่ยนแปลงของสีอะโซเมื่อผ่านกระบวนการบำบัดด้วยเชื้อจุลินทรีย์ในการวิจัยนี้ด้วยเทคนิคทาง High Performance Liquid Chromatography (HPLC) สำหรับชุดการทดลองความเข้มข้น 20 มก./ล. ได้พบว่าโครมาโตแกรมของน้ำสีก่อนผ่านกระบวนการมีพีคหลักที่ 2.48 นาที และมีพีครองที่ 4.14 และ 6.64 นาที (รูป 4.21ก) แต่เมื่อนำตัวอย่างน้ำสีที่ผ่านกระบวนการแอนแอโรบิกแล้วนำมาฉีดผ่าน HPLC จะเกิดพีคที่ 3.63 นาที (รูป 4.21ข) ซึ่งแสดงว่าเวลาตอบสนอง (response time) เปลี่ยนไป (จาก 2.48 เป็น 3.63) แสดงว่ามีการเปลี่ยนแปลงโครงสร้างของสีจริงในกระบวนการแอนแอโรบิก โดยเชื้อจุลินทรีย์ทำการย่อยสลายสีอะโซเกิดไปเป็นสารอื่นซึ่งปรากฏพีคที่ 3.63 นาทีดังกล่าว และน้ำเสียจากกระบวนการแอนแอโรบิกนี้เมื่อนำไปผ่านกระบวนการแอนแอโรบิกไม่มีการเปลี่ยนแปลงใดๆอีก ก็เพราะพีค 3.63 นาทีนี้ยังปรากฏอยู่คงเดิมโดยไม่เห็นการเปลี่ยนแปลงใดๆที่ชัดเจน (รูป 4.21ค) ส่วนในการศึกษา HPLC โครมาโต

Profile ที่ 1



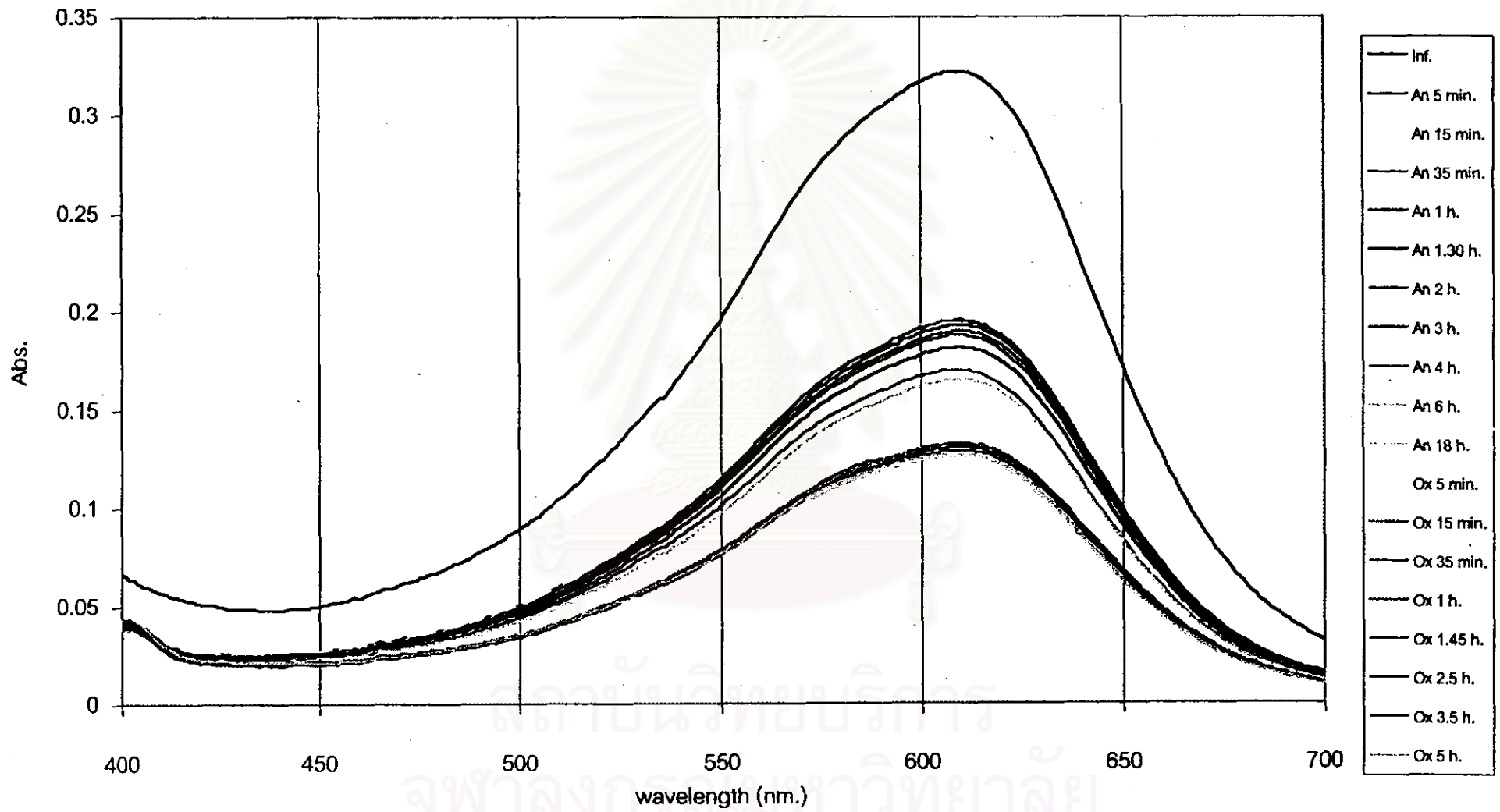
รูปที่ 4.17 สเปกตรัมที่เวลาต่างกันของสีอะโซ (สี 1)

Profile สี 2



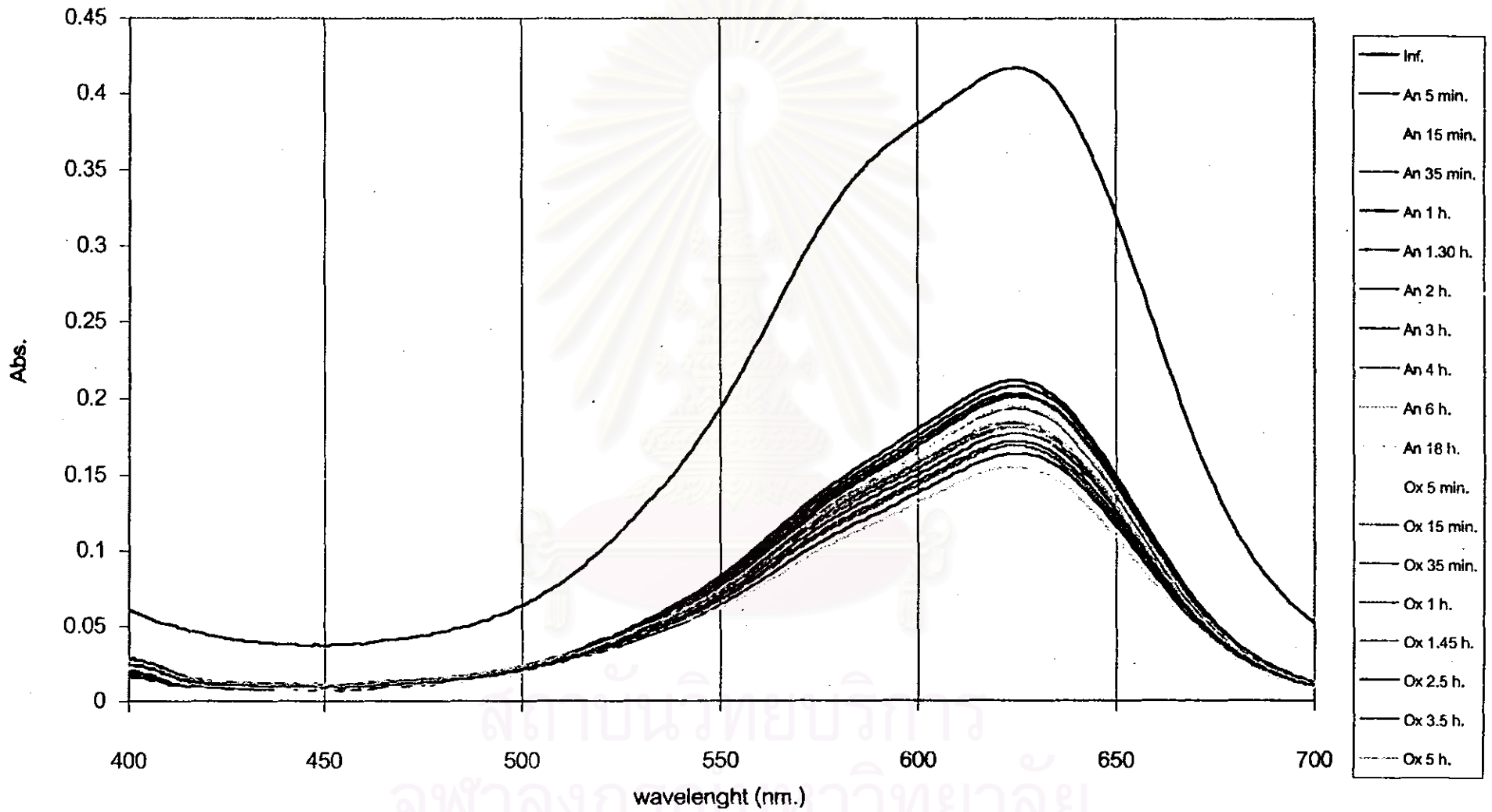
รูปที่ 4.18 สเปกตรัมที่เวลาต่างกันของสีแอนทราควิโนน 1 (สี 2)

### Profile สี 3



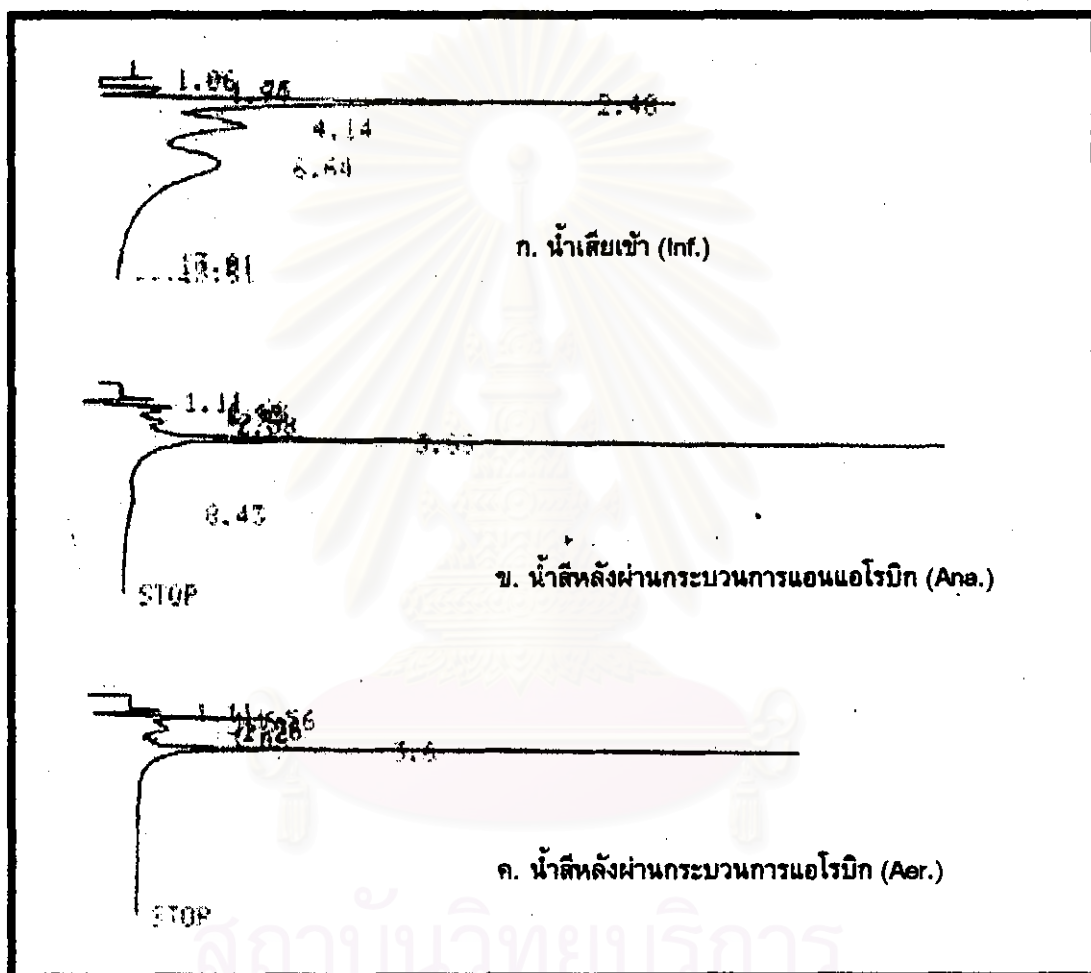
รูปที่ 4.19 สเปกตรัมที่เวลาต่างกันของสีแอนทราควิโนน 2 (สี3)

Profile สี 4



รูปที่ 4.20 สเปกตรัมที่เวลาต่างกันของสีออกซาซิน (สี 4)

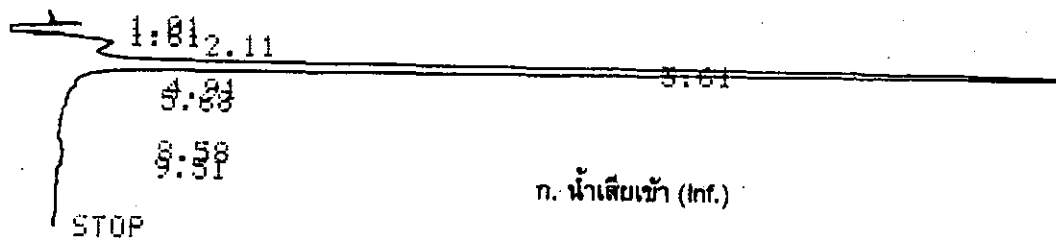
แกรมของสี่แอนทราควิโนน 1, 2 พบว่าไม่มีการเปลี่ยนแปลงใดๆของเวลาตอบสนองที่เห็นได้ชัดเจน ดังแสดงในรูปที่ 4.22 และ 4.23 แสดงว่าสี่แอนทราควิโนนนี้ไม่เกิดการเปลี่ยนแปลงของโครงสร้างหรือกล่าวอีกนัยหนึ่งคือไม่ถูกย่อยสลายได้โดยเชื้อจุลินทรีย์ในระบบฯ



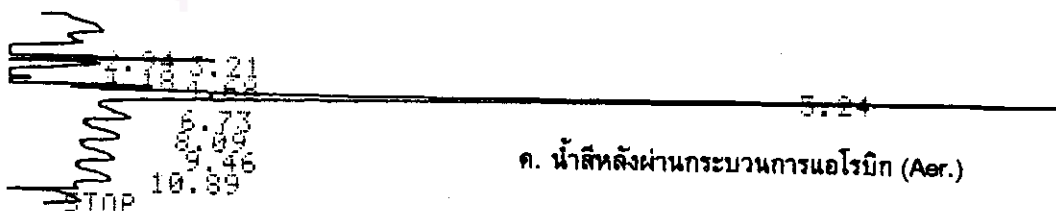
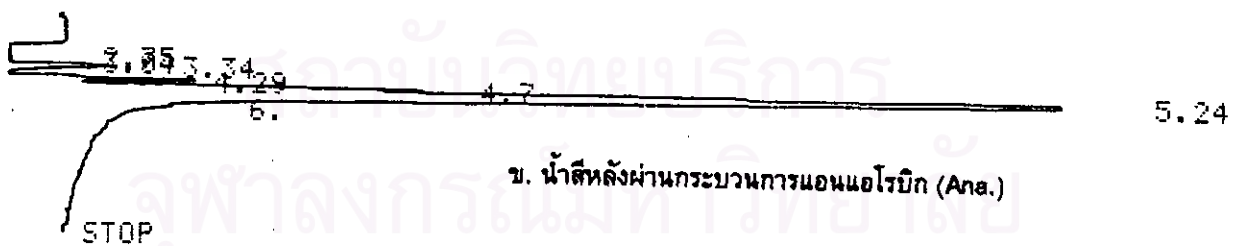
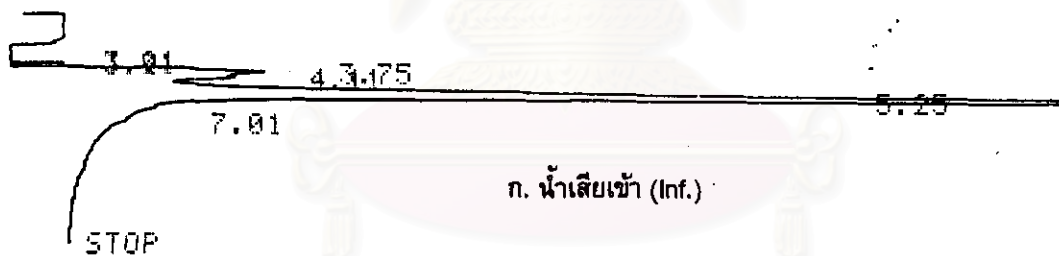
รูปที่ 4.21 ผลการฉีดตัวอย่างน้ำของสี่อะโซ(สี1)จากเครื่อง HPLC\* เมื่อใช้ 3%เมทานอล เป็นโมบายเฟส และตั้งค่า  $\lambda$  ที่ 597 นาโนเมตร (ก-น้ำเสียเข้า, ข-ตัวอย่างน้ำหลังผ่านแอนแอโรบิก, ค-ตัวอย่างน้ำหลังผ่านแอโรบิก)

(\* High Performance Liquid Chromatography, HPLC เป็นวิธีการแยกสารประกอบอินทรีย์โดยใช้คอลัมน์ที่บรรจุสารเคมีที่สามารถดูดซับสารอินทรีย์ไว้ โดยจะมีโมบายเฟสเป็นตัวที่จะชะละลายสารอินทรีย์ที่ถูกจับติดในคอลัมน์ออกมา โดยสารอินทรีย์ต่างชนิดจะถูกชะออกมาที่เวลาที่ต่างกัน ขึ้นอยู่กับชนิดของคอลัมน์ พารามิเตอร์ต่างๆที่ตั้งไว้ของเครื่อง และชนิดของโมบายเฟสที่ใช้ เวลาและความสูงที่ที่คอกออกมาจึงแสดงถึงชนิดและปริมาณของสารนั้นได้)

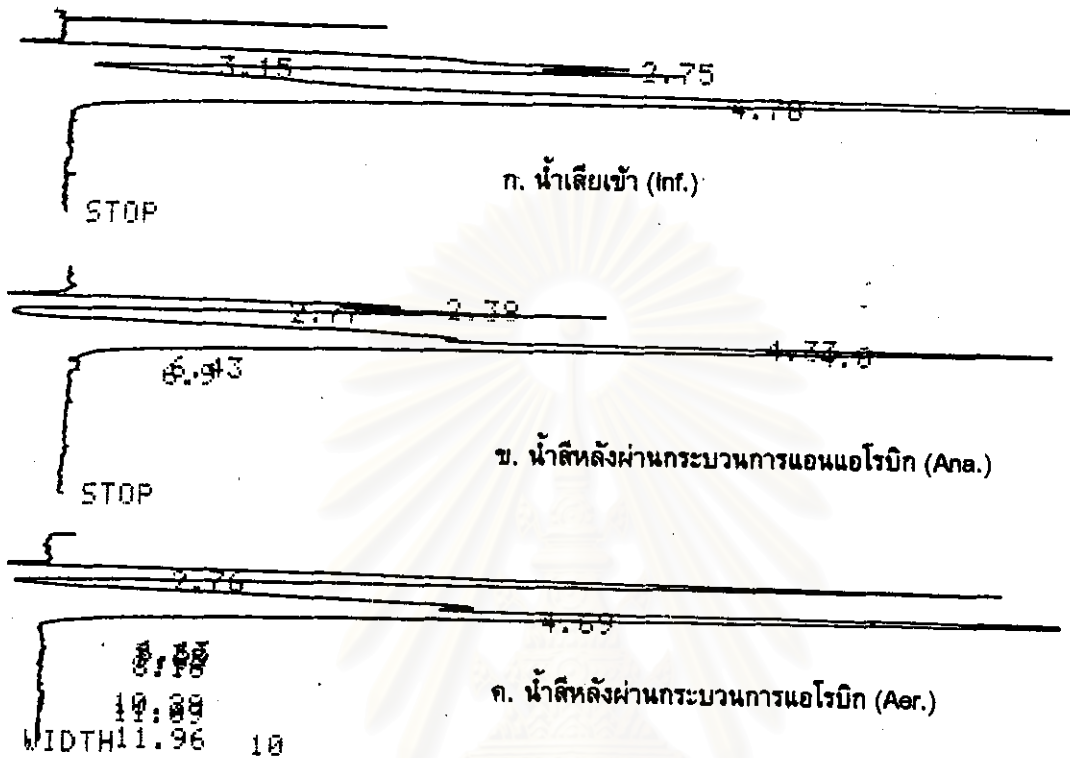




รูปที่ 4.22 ผลการฉีดตัวอย่างน้ำของสีแอนทราควิโนน 1 (สี 2) จากเครื่อง HPLC เมื่อใช้ 20% เมทานอล เป็นโมบายเฟส และตั้งค่า  $\lambda$  ที่ 590 นาโนเมตร (ก-น้ำเสียเข้า, ข-ตัวอย่างน้ำหลังผ่านแอนแอโรบิก, ค-ตัวอย่างน้ำหลังผ่านแอโรบิก)



รูปที่ 4.23 ผลการฉีดตัวอย่างน้ำของสีแอนทราควิโนน 2 (สี 3) จากเครื่อง HPLC เมื่อใช้ 20% เมทานอล เป็นโมบายเฟส และตั้งค่า  $\lambda$  ที่ 609 นาโนเมตร (ก-น้ำเสียเข้า, ข-ตัวอย่างน้ำหลังผ่านแอนแอโรบิก, ค-ตัวอย่างน้ำหลังผ่านแอโรบิก)



รูปที่ 4.24 ผลการฉีดตัวอย่างน้ำของสีออกซาซีน(สี4)จากเครื่อง HPLC เมื่อใช้ 20%เมทานอล เป็นโมบายเฟส และตั้งค่า  $\lambda$  ที่ 626 นาโนเมตร (ก-น้ำเสียเข้า, ข-ตัวอย่างน้ำหลังผ่านแอนแอโรบิก, ค-ตัวอย่างน้ำหลังผ่านแอโรบิก)

นอกจากนี้จากผลการทดลองในหัวข้อที่ 4.2.1 และ 4.2.2 ที่มีการศึกษาผลของในเทอร์ตและซัลเฟตต่อการลดสี ผลปรากฏว่าชุดสีอะโซที่เดิมในเทอร์ตเกิดการลดสีในอัตราที่ช้ากว่าชุดควบคุมมาก ทั้งที่ผลการกำจัดซีไอทีมีลักษณะที่คล้ายกัน และสำหรับชุดสีอะโซที่เดิมซัลเฟตพบว่าประสิทธิภาพการกำจัดสีได้ค่าที่ไม่แตกต่างกันนัก สำหรับสีอีก 3 ชนิดที่เหลือไม่พบความแตกต่างกันในทั้งสองชุดการทดลอง

จากเหตุผลต่าง ๆ ดังกล่าวซึ่งพอจะสรุปได้ดังตารางที่ 4.21

ตารางที่ 4.21 ความแตกต่างที่พบระหว่างสีอะโซ และสีแอนทราควิโนน 1, 2

สีอะโซ (สี1)	สีแอนทราควิโนน1 และ2 (สี2, สี3)
ก. ความเข้มข้นของสีในน้ำเสียมีผลต่อประสิทธิภาพการกำจัดสีไม่มากนัก	ก. ความเข้มข้นของสีในน้ำเสียมีผลต่อประสิทธิภาพการกำจัดสีมาก
ข. มีประสิทธิภาพการกำจัดสีสูงกว่าสี2 และ สี3	ข. มีประสิทธิภาพการกำจัดสีต่ำกว่าสี 1
ค. มีอัตราการลดสี 2 อัตรา โดยช่วง 2 ชั่วโมงแรกของปฏิกิริยาแอนแอโรบิกมีการลดสีในอัตราที่สูงกว่าช่วงถัดไปมาก	ค. มีอัตราการลดสีเพียงอัตราเดียวตลอดปฏิกิริยาแอนแอโรบิก
ง. มีการเปลี่ยนแปลง dominant wavelength ( $\lambda_{max}$ ) ในช่วง 2 ชั่วโมงแรกของปฏิกิริยาแอนแอโรบิกที่มีอัตราการลดสีสูง	ง. ไม่มีการเปลี่ยนแปลงของ dominant wavelength ( $\lambda_{max}$ ) ตลอดช่วงเวลาดปฏิกิริยา
จ. ผลจาก HPLC โครมาโตแกรม พบว่าการเปลี่ยนแปลงพีคหลักของสารประกอบสีที่พบ	จ. ไม่พบว่าการเปลี่ยนแปลงพีคหลักของสารประกอบสีอย่างชัดเจนเพียงพอใน HPLC โครมาโตแกรม
ฉ. ปริมาณไนเตรดในน้ำเสียมีผลต่ออัตราการลดสี	ฉ. ปริมาณไนเตรดในน้ำเสียไม่มีผลต่อการลดสี
ช. สีของฟล็อกมีสีน้ำตาลอ่อนซึ่งเป็นคนละโทนสีกับสีย้อมในน้ำเสีย	ช. สีของฟล็อกมีสีน้ำเงิน ซึ่งเป็นโทนสีเดียวกันกับสีของสีย้อมในน้ำเสีย

ดังนั้นพอจะสรุปได้ว่ากลไกหลักของการลดสีของสีโครงสร้าง Disazo Vinylsulphonyl (สี1) น่าจะเกิดจากปฏิกิริยาทางชีวเคมี ดังเช่นที่ Carliell et al. (1995) ได้ตั้งสมมติฐานไว้ว่าในกระบวนการแอนแอโรบิกจะเกิดการลดสีโดยการที่สีอะโซทำหน้าที่เป็นตัวรับอิเล็กตรอน เกิดเป็นสารประกอบชนิดอื่นขึ้นมา โดยจุดที่เกิดการเปลี่ยนแปลงในโครงสร้างสีน่าจะเป็นที่พันธะอะโซ ( $-N=N-$ ) ซึ่งเป็นตัวรับอิเล็กตรอนนั่นเอง นอกจากนี้ยังพบว่าไนเตรดทำหน้าที่เป็นตัวรับอิเล็กตรอนที่ดีกว่าสีอะโซ แต่สีอะโซเป็นตัวรับอิเล็กตรอนที่ดีกว่าซัลเฟต ซึ่งหมายความว่าหากมีไนเตรดปะปนเข้ามาในช่วงแอนแอโรบิก ประสิทธิภาพการลดสีจะเสื่อมลง แต่ถ้ามีซัลเฟตเข้ามาจะไม่รบกวนการกำจัดสีของกระบวนการแอนแอโรบิก ซึ่งผลที่ได้ก็คล้ายกับในงานวิจัยฉบับนี้ทั้ง

ที่ไม่ได้ใช้ระบบบำบัดชนิดเดียวกัน และชนิดของสีก็คนละชนิดกันเพียงแต่เป็นสีย้อมรีแอกทีฟที่มีโครงสร้างอะโซเหมือนกันเท่านั้น

อย่างไรก็ตามเมื่อดูจากรูปที่ 4.17 พบว่าค่า  $\lambda_{max}$  ในช่วงท้ายแอโรบิกของสีไคส์อะโซ (สี1) ไม่แตกต่างกับค่าที่ได้ในช่วงท้ายแอนแอโรบิก และจากรูปที่ 4.21 พบว่าเวลาตอบสนองของฟิคสารประกอบสีในช่วงท้ายแอนแอโรบิกแทบจะไม่แตกต่างกับที่ท้ายแอโรบิก แสดงว่าไม่มีการย่อยสลายสารฮาโรมาติกอะมีน (ที่ผลิตได้ในขั้นตอนแอนแอโรบิก สำหรับสีไคส์อะโซ) ต่ออีก ข้อมูลนี้ขัดแย้งกับงานวิจัยของ Brown and Hamburger (1987) ที่กล่าวว่าสารอะมีนที่เป็นผลิตภัณฑ์ซึ่งเกิดจากการย่อยน้ำเสียสีแบบแอนแอโรบิกจะถูกย่อยสลายต่อในกระบวนการแอโรบิก ซึ่งอาจเป็นไปได้ที่สีที่นำมาทดสอบในงานวิจัยของ Brown and Hamburger กับของงานวิจัยนี้เป็นคนละชนิดและมีการตอบสนองต่อการย่อยสลายทางชีวภาพที่ต่างกัน

สำหรับกลไกหลักในการลดสีของโครงสร้างแอนทราควิโนน 1 และ 2 น่าจะเกิดจากการถูกซับบนฟลือกเป็นหลัก เนื่องจากอัตราการลดสีที่เกิดขึ้นอย่างช้าๆและไม่มีการเปลี่ยนแปลงของโครงสร้างสี(รูป 4.18, 4.19) และสีแอนทราควิโนนไม่สามารถทำหน้าที่เป็นตัวรับอิเล็กตรอนได้ การค้นพบนี้ตรงกับงานวิจัยของ Brown and Laboureur (1983) ที่กล่าวว่าสีโครงสร้างแอนทราควิโนนไม่สามารถย่อยโดยกระบวนการแอนแอโรบิกได้ แต่โครงสร้างอะโซสามารถย่อยได้

สถาบันวิทยบริการ  
จุฬาลงกรณ์มหาวิทยาลัย